DAFTAR PUSTAKA

Abdullah, T. (2017). Penilaian Wisatawan akan Atribut Pariwisata di Kota Batu. *THE Journal: Tourism and Hospitality Essentials Journal*, *7*(2), 91-96. DOI: https://doi.org/10.17509/thej.v7i2.9015

Achmad, F., Prambudia, Y., & Rumanti, A. A. (2023). Improving Tourism Industry Performance through Support System Facilities and Stakeholders: The Role of Environmental Dynamism. *Sustainability*, *15*(5), 4103. DOI: https://doi.org/10.3390/su15054103

Achmad, F., Abdillah, I. T., & Amani, H. (2023). Decision-Making Process for Tourism Potential Segmentation. *International Journal of Innovation in Enterprise System*, *7*(01), 19-30. DOI: https://doi.org/10.25124/ijies.v7i01.204

Ahmed, A., Bhatti, S. H., Gölgeci, I., & Arslan, A. (2022). Digital platform capability and organizational agility of emerging market manufacturing SMEs: The mediating role of intellectual capital and the moderating role of environmental dynamism. *Technological Forecasting and Social Change*, *177*, 121513. DOI: https://doi.org/10.1016/j.techfore.2022.121513

Amnar, S., Muhammad, S., & Syechalad, M. N. (2017). Pengaruh pariwisata terhadap pertumbuhan ekonomi di Kota Sabang. *Jurnal Ekonomi dan Kebijakan Publik Indonesia*, *4*(1), 13-22.

Atsnansyah, M. M., & Dewi, D. I. K. (2015). Arahan Zonasi dan Pengembangan Di Kawasan Situs Cagar Budaya Patiayam Kabupaten Kudus. *Teknik*, *36*(2), 96-104.

Ariyani, N., & Fauzi, A. (2023). Pathways toward the Transformation of Sustainable Rural Tourism Management in Central Java, Indonesia. *Sustainability*, 15(3), 2592. DOI: https://doi.org/10.3390/su15032592

Ariyaningsih, A. (2018). Strategi Pengembangan Wisata Budaya di Kawasan Pecinaan Lasem. SPECTA Journal of Technology, 2(2), 27-38. DOI: https://doi.org/10.35718/specta.v2i2.102

Badan Pusat Statistik. (2020). Industri Besar dan Industri Sedang. Accessed: Agt. 6, 2022. [Online]. Available: https://www.bps.go.id/subject/9/industri-besar-dan-sedang.html

Badan Pusat Statistik. (2020). Jumlah Devisa Sektor Pariwisata (Milliar US $). Accessed: Apr. 18, 2022. [Online]. Available: https://bps.go.id/indikator/indikator/view_data/0000/data/1160/sdgs_8/1

Bank Indonesia. (2016). Profil Bisnis UMKM. Accessed: Jul. 20, 2022. [Online]. Available: https://www.bi.go.id/id/umkm/penelitian/Pages/Profil-Bisnis-UMKM.aspx

Bala, B. K., Arshad, F. M., & Noh, K. M. (2017). System dynamics. *Modelling and Simulation*, *274*.

Bappenas / Kementrian PPN (2022). Tujuan Pembangunan Berkelanjutan. Accessed: Oct. 11, 2022. [Online]. Available: https://sdgs.bappenas.go.id/

Barclay, D. W., Higgins, C. A., & Thompson, R. (1995). The partial least squares approach to causal modeling: Personal computer adoption and use as illustration. *Technology Studies*, 2, 285-309.

Bhatia, A. K. (2002). *Tourism development: Principles and practices*. Sterling Publishers Pvt. Ltd.

Birendra, K. C., Dhungana, A., & Dangi, T. B. (2021). Tourism and the sustainable development goals: Stakeholders' perspectives from Nepal. *Tourism Management Perspectives*, *38*, 100822. DOI: https://doi.org/10.1016/j.tmp.2021.100822

Biro Hukum Dan organisasi. (2022). Peraturan Menteri Kesehatan Republik Indonesia Nomor 9 Tahun 2020. Accessed: Apr. 06, 2022. [Online]. Available:http://hukor.kemkes.go.id/uploads/produk_hukum/PMK_No__9_Th_2020_ttg_Pedoman_Pembatasan_Sosial_Berskala_Besar_Dalam_Penanganan_COVID-19.pdf

Bojanic, D. C., & Lo, M. (2016). A comparison of the moderating effect of tourism reliance on the economic development for islands and other countries. *Tourism Management*, *53*, 207-214. DOI: https://doi.org/10.1016/j.tourman.2015.10.006

Brown, C. B. (2015). Tourism, crime, and risk perception: An examination of broadcast media's framing of negative Aruban sentiment in the Natalee Holloway case and its impact on tourism demand. *Tourism Management Perspectives*, *16*, 266-277. DOI: https://doi.org/10.1016/j.tmp.2014.12.001

Buhalis, D., & Cooper, C. (2022). Tourism Management. In *Encyclopedia of Tourism Management and Marketing* (pp. 441-444). Edward Elgar Publishing.

Cakar, K. (2018). Critical success factors for tourist destination governance in times of crisis: a case study of Antalya, Turkey. *Journal of Travel & Tourism Marketing*, *35*(6), 786-802. DOI: https://doi.org/10.1080/10548408.2017.1421495

Camilleri, M. A. (2018). The tourism industry: An overview. *Travel marketing, tourism economics and the airline product*, 3-27. DOI: https://doi.org/10.1007/978-3-319-49849-2_1

Capobianco, N., Basile, V., Loia, F., & Vona, R. (2021). Toward a sustainable decommissioning of offshore platforms in the oil and gas industry: a PESTLE analysis. *Sustainability*, *13*(11), 6266. DOI: https://doi.org/10.3390/su13116266

CEIC Data. (2020). Indonesia Pendapatan Pariwisata. Accessed: Apr. 05, 2022. [Online]. Available: www.ceicdata.com/id/indicator/indonesia/tourism-revenue

Chaerunissa, S. F., & Yuniningsih, T. (2020). Analisis Komponen Pengembangan Pariwisata Desa Wisata Wonolopo Kota Semarang. *Journal of Public Policy and Management Review*, 9(4), 159-175. DOI: 10.14710/jppmr.v9i4.28998

Chakraborty, A. (2022). Geodiversity and Tourism Sustainability in the Anthropocene. *Tourism and Hospitality*, *3*(2), 496-508. DOI: https://doi.org/10.3390/tourhosp3020031

Corsale, A. (2021). Jewish heritage tourism in Krakow. Authenticity and commodification issues. *Tourism and Hospitality*, *2*(1), 140-152. DOI: https://doi.org/10.3390/tourhosp2010008

Dangi, T. B., & Petrick, J. F. (2021). Augmenting the role of tourism governance in addressing destination justice, ethics, and equity for sustainable community-based tourism. *Tourism and Hospitality*, *2*(1), 15-42. DOI: https://doi.org/10.3390/tourhosp2010002

Daniar Paramita, R. W., Rizal, N., Sulistyan, R. B., Taufiq, M., & Dimyati, M. (2021). Manajemen Industri Kreatif.

DataIndonesia.id. Pendapatan devisa dari sektor pariwisata Indonesia mencapai US$4,26 miliar pada 2022. Accessed: April. 01, 2023. [Online]. Available: https://dataindonesia.id/pariwisata/detail/pendapatan-devisa-pariwisata-indonesia-melejit-pada-2022

De la Mora Velasco, E., Huang, A., & Haney, A. (2021). An employee sharing model for the tourism and Hospitality industry. *Tourism and Hospitality*, *2*(2), 190-194. DOI: https://doi.org/10.3390/tourhosp2020011

Denizci Guillet, B. (2020). An evolutionary analysis of revenue management research in hospitality and tourism: is there a paradigm shift?. *International Journal of Contemporary Hospitality Management*, *32*(2), 560-587. DOI: https://doi.org/10.1108/IJCHM-06-2019-0515

Deng, F., & Zhou, C. (2022). Sustainable Development of Corporate Governance in the Hospitality and Tourism Industry: The Evolution and the Future. *Sustainability*, *14*(7), 4286. DOI: https://doi.org/10.3390/su14074286

Diaz-Farina, E., Díaz-Hernández, J. J., & Padrón-Fumero, N. (2020). The contribution of tourism to municipal solid waste generation: A mixed demand-supply approach on the island of Tenerife. *Waste Management*, *102*, 587-597. DOI: https://doi.org/10.1016/j.wasman.2019.11.023

DISPORAPAR Jawa Tengah. (2021). Buku Pariwisata Jawa Tengah Dalam Angka 2021. Accessed: Apr. 01, 2023. [Online]. Available: https://disporapar.jatengprov.go.id/content/files/1656301445BUKU-STATISTIK---JAWA-TENGAH-DALAM-ANGKA-2021.pdf

DISPORAPAR Jawa Tengah. (2022). Buku Pariwisata Jawa Tengah Dalam Angka 2022. Accessed: Apr. 01, 2023. [Online]. Available: https://disporapar.jatengprov.go.id/content/files/DRAFT%20BUKU%20STATISTIK%20-%20JAWA%20TENGAH%20DALAM%20ANGKA%202022-1674194591.pdf

Dodds, R., Ali, A., & Galaski, K. (2018). Mobilizing knowledge: Determining key elements for success and pitfalls in developing community-based tourism. *Current Issues in Tourism*, *21*(13), 1547-1568. DOI: https://doi.org/10.1080/13683500.2016.1150257

Dwyer, L. (2022). Productivity, Destination Performance, and Stakeholder Well-Being. *Tourism and Hospitality*, *3*(3), 618-633. DOI: https://doi.org/10.3390/tourhosp3030038

Fengping, W. (2022). A Study on the Tourist Satisfaction of Rural Tourism Destination Based on Structural Equation Model. *Journal of Modern Learning Development*, *7*(6).

Fletcher, J., Fyall, A., Gilbert, D., & Wanhill, S. (2017). *Tourism: Principles and practice*. Pearson UK.

Forrester, J. W. (1994). System dynamics, systems thinking, and soft OR. *System dynamics review*, *10*(2-3), 245-256. DOI: https://doi.org/10.1002/sdr.4260100211

Forrester, J. W. (1992). Policies, decisions, and information sources for modeling. *European Journal of Operational Research*, *59*(1), 42-63. DOI: https://doi.org/10.1016/0377-2217(92)90006-U

Freeman, R. E. (2010). *Strategic management: A stakeholder approach*. Cambridge university press.

Gaffar, V., Ridwanudin, O., Trinugraha, B., & Riswanto, A. (2019). The influence of website navigational design on improving tourism performance: Empirical studies on sport tourism providers in Indonesia. *Research in World Economy*, *10*(3), 408-418. DOI: https://doi.org/10.5430/rwe.v10n3p408

Gefen, D., Straub, D., dan Boudreau, M. C. (2000): Structural equation modeling and regression: Guidelines for research practice, *Communication of the Association for Information Systems, 4(7),* 1-78. DOI: https://doi.org/10.17705/1CAIS.00407

Ghoochani, O. M., Ghanian, M., Khosravipour, B., & Crotts, J. C. (2020). Sustainable tourism development performance in the wetland areas: a proposed composite index. *Tourism Review*. DOI: https://doi.org/10.1108/TR-02-2019-0061

Gretzel, U., Murphy, J., Pesonen, J., & Blanton, C. (2020). Food waste in tourist households: a perspective article. *Tourism Review*, *75*(1), 235-238. DOI: https://doi.org/10.1108/TR-05-2019-0170

Goeldner, C. R., Ritchie, J. B., & Ve Brent, R. (2006). Tourism: Principles, Practices, Philosophies, John Wiley&Sons. *Inc., USA*.

Hair, J. F., Risher, J. J., Sarstedt, M., & Ringle, C. M. (2019). When to use and how to report the results of PLS-SEM. *European business review*, *31*(1), 2-24. DOI: https://doi.org/10.1108/EBR-11-2018-0203

Hall, C. M., Scott, D., & Gössling, S. (2020). Pandemics, transformations, and tourism: Be careful what you wish for. *Tourism geographies*, *22*(3), 577-598. DOI: https://doi.org/10.1080/14616688.2020.1759131

Hamdi, A. S., & Bahruddin, E. (2015). *Metode penelitian kuantitatif aplikasi dalam pendidikan*. Deepublish.

Hanafiah, M. H., & Zulkifly, M. I. (2019). Tourism destination competitiveness and tourism performance: A secondary data approach. *Competitiveness Review: An International Business Journal*. DOI: https://doi.org/10.1108/CR-07-2018-0045

Hong, Y., Cai, G., Mo, Z., Gao, W., Xu, L., Jiang, Y., & Jiang, J. (2020). The impact of COVID-19 on tourist satisfaction with B&B in Zhejiang, China: An importance–performance analysis. *International Journal of Environmental Research and Public Health*, *17*(10), 3747.

Holloway, J. C., & Humphreys, C. (2016). *The business of tourism*. Pearson Education.

Indrayati, A., & Setyaningsih, W. (2017). Mengungkap Potensi Kabupaten Rembang Sebagai Geowisata dan Laboratorium Lapangan Geografi. *Jurnal Geografi: Media Informasi Pengembangan dan Profesi Kegeografian*, *14*(1), 1-17. DOI: https://doi.org/10.15294/jg.v14i1.9773

Isdarmanto, I. (2017). DASAR DASAR KEPARIWISATAAN DAN PENGELOLAAN DESTINASI WISATA.

Jaelani, A. (2017). Halal tourism industry in Indonesia: Potential and prospects. *International Review of management and Marketing*, *7*(3), 25-34.

Jafari, J., & Ritchie, J. B. (1981). Toward a framework for tourism education: Problems and prospects. *Annals of tourism research*, *8*(1), 13-34. DOI: https://doi.org/10.1016/0160-7383(81)90065-7

JDIH BPK RI. (2009). Undang-undang (UU) tentang Kepariwisataan. Accessed: Apr. 09, 2022 [Online]. Available: https://peraturan.bpk.go.id/Home/Details/38598/uu-no-10-tahun-2009

JDIH BPK RI. (2019). Rencana Induk Pembangunan Kepariwisataan Kabupaten Rembang tahun 2019-2025. Accessed: Apr. 08, 2022. [Online]. Available: https://peraturan.bpk.go.id/Home/Details/198401/perda-kab-rembang-no-12-tahun-2019

Julia, Fira. (2020). *PARTISIPASI MASYARAKAT DALAM PENGELOLAAN OBJEK WISATA PANTAI KARANGJAHE KECAMATAN REMBANG KABUPATEN REMBANG TAHUN 2020.* Under Graduates thesis, Universitas Negeri Semarang.

Kaushal, V., & Srivastava, S. (2021). Hospitality and tourism industry amid COVID-19 pandemic: Perspectives on challenges and learnings from India. *International journal of hospitality management*, *92*, 102707. DOI: https://doi.org/10.1016/j.ijhm.2020.102707

Kementerian Komunikasi dan Informatika Republik Indonesia. (2017). Pariwisata Sumbang Devisa Terbesar kedua. Accessed: Oct 31, 2022. [Online]. Available: https://www.kominfo.go.id/content/detail/11033/pariwisata-sumbang-devisa-terbesar-kedua/0/berita

Khasanah, L. A. N., Sijabat, Y. P., Permatasari, N., & Firmansyah, M. F. (2022). ANALISIS ASET DAN OMSET TERHADAP PENYERAPAN TENAGA KERJA PADA USAHA MIKRO INDUSTRI PENGOLAHAN

KECAMATAN MAGELANG UTARA. *EQUILIBIRIA*, *9*(1). DOI: https://doi.org/10.33373/jeq.v9i1.4287

Kholilurohman, M. (2016). Pengelolaan obyek daya tarik wisata religi di Kabupaten Rembang (Studi Kasus Pasujudan Sunan Bonang). *Universitas Islam Negeri Walisongo*.

Kukanja, M., Planinc, T., & Sikošek, M. (2020). Crisis management practices in tourism SMEs during the Covid-19 pandemic. *Organizacija*, *53*(4). DOI: https://doi.org/10.2478/orga-2020-0023

Kuzior, A., Lyulyov, O., Pimonenko, T., Kwilinski, A., & Krawczyk, D. (2021). Post-industrial tourism as a driver of sustainable development. *Sustainability*, *13*(15), 8145. DOI: https://doi.org/10.3390/su13158145

Li, Y., Lau, C., & Su, P. (2020). Heritage tourism stakeholder conflict: A case of a World Heritage Site in China. *Journal of Tourism and Cultural Change*, *18*(3), 267-287. DOI: https://doi.org/10.1080/14766825.2020.1722141

Lickorish, L. J., & Jenkins, C. L. (2007). *Introduction to tourism*. Routledge.

Lohmann, G., & Netto, A. P. (2016). *Tourism theory: Concepts, models, and systems*. Cabi.

Lyneis, J. M. (2000). System dynamics for market forecasting and structural analysis. *System Dynamics Review: The Journal of the System Dynamics Society*, *16*(1), 3-25. DOI: https://doi.org/10.1002/(SICI)1099-1727(200021)16:1%3C3::AID-SDR183%3E3.0.CO;2-5

Macal, C. M., & North, M. J. (2005, December). Tutorial on agent-based modeling and simulation. In *Proceedings of the Winter Simulation Conference, 2005.* (pp. 14-pp). IEEE. DOI: 10.1109/WSC.2005.1574234

Macal, C. M., & North, M. J. (2009, December). Agent-based modeling and simulation. In *Proceedings of the 2009 winter simulation conference (WSC)* (pp. 86-98). IEEE. DOI: 10.1109/WSC.2009.5429318

Mandić, A., Mrnjavac, Ž., & Kordić, L. (2018). Tourism infrastructure, recreational facilities, and tourism development. *Tourism and hospitality management*, 24(1), 41-62. DOI: https://doi.org/10.20867/thm.24.1.12

Mahaputra, G. P., & Santoso, E. B. (2018). Direction of Maritime Industrial Estate Development in Brondong-Paciran Area, Lamongan Regency. *Jurnal Teknik ITS*, *7*(2), C107-C112. DOI: 10.12962/j23373539.v7i2.32854

Mai, T., & Smith, C. (2018). Scenario-based planning for tourism development using system dynamic modelling: A case study of Cat Ba Island, Vietnam. *Tourism Management*, *68*, 336-354. DOI: https://doi.org/10.1016/j.tourman.2018.04.005

Mikulić, J., Vizek, M., Stojčić, N., Payne, J. E., Časni, A. Č., & Barbić, T. (2021). The effect of tourism activity on housing affordability. *Annals of Tourism Research*, *90*, 103264. DOI: https://doi.org/10.1016/j.annals.2021.103264

Moneva, J. M., Bonilla-Priego, M. J., & Ortas, E. (2020). Corporate social responsibility and organisational performance in the tourism sector. *Journal of Sustainable Tourism*, *28*(6), 853-872. DOI: https://doi.org/10.1080/09669582.2019.1707838

Muhammad Khadry Bakti Gunawan (2020). Analisis Komponen Pariwisata 6A Danau Toba.

Mulwa, J. M., & Owiyo, V. (2018). Safety and security in tourism destinations: Its moderating role in the destination competitiveness determinants and destination competitiveness nexus in Western Kenya circuit.

Musanef (Drs.). (1995). *Manajemen usaha pariwisata di Indonesia*. Gunung Agung.

Musta'in, M. M., Muafiqie, M. S. D. H., Karman, M. S. A., & Kalsum, M. U. (2022). *Ekonomi Kreatif Berbasis Digital Dan Kemandirian Masyarakat Era Society 5.0*. Global Aksara Pers.

Mukmin, S. (2022). Beach Are Development Strategy as the Prime Tourism Area in Indonesia. *Beach Are Development Strategy as the Prime Tourism Area in Indonesia*, *13*(2 (58)), 414-426.

Nainggolan, H., Wardhani, N. W. S., Leksono, A. S., & Santoso, I. (2020, April). Driving factors for the success of the green industrial estate: a case study of Pasuruan Industrial Estate Rembang. In *IOP Conference Series: Earth and Environmental Science* (Vol. 475, No. 1, p. 012071). IOP Publishing. DOI: 10.1088/1755-1315/475/1/012071

Naranjo Llupart, M. R. (2022). Theoretical Model for the Analysis of Community-Based Tourism: Contribution to Sustainable Development. *Sustainability*, *14*(17), 10635. DOI: https://doi.org/10.3390/su141710635

Nguyen, T. Q. T., Young, T., Johnson, P., & Wearing, S. (2019). Conceptualising networks in sustainable tourism development. *Tourism Management Perspectives*, *32*, 100575. DOI: https://doi.org/10.1016/j.tmp.2019.100575

Niavis, S., & Tsiotas, D. (2019). Assessing the tourism performance of the Mediterranean coastal destinations: A combined efficiency and effectiveness approach. *Journal of Destination Marketing & Management*, *14*, 100379. DOI: https://doi.org/10.1016/j.jdmm.2019.100379

Nugroho, P. S., Cahyadin, M., Perindustrian, D., Kebudayaan, D., & Pariwisata, D. K. (2010). Analisis perkembangan industri kreatif di Indonesia. *Simposium Ekonomi Indonesia Pasca Krisis Ekonomi Global, Surabaya*.

Patten, M. L. (2021). Operational Definitions of Variables. In *Understanding Research Methods*.

Peraturan Menteri Perindustrian. (2014). Program Restrukturisasi Mesin Dan / Atau Peralatan Industri Kecil dan Industri Menengah. Accessed: Jul. 20, 2022 [Online]. Available: https://kemenperin.go.id/download/5362

Petrova, M., Dekhtyar, N., Klok, O., & Loseva, O. (2018). Regional tourism infrastructure development in the state strategies. *Problems and Perspectives in Management*, *16*(4), 259.

Popa, S., Soto-Acosta, P., & Martinez-Conesa, I. (2017). Antecedents, moderators, and outcomes of innovation climate and open innovation: An empirical study in SMEs. *Technological Forecasting and Social Change*, *118*, 134-142. DOI: https://doi.org/10.1016/j.techfore.2017.02.014

Pramono, R. (2021). Tourism and original local government revenue in Indonesia Tourism Provinces: The Java Island experience.

Rachmawati, I. N. (2007). Pengumpulan data dalam penelitian kualitatif: wawancara. *Jurnal Keperawatan Indonesia*, *11*(1), 35-40. DOI: https://doi.org/10.7454/jki.v11i1.184

Ramaano, A. I. (2022). Nature and impacts of tourism development facilities and activities on the livelihoods of communities in musina municipality. *Tourism Planning & Development*, 1-25.

Rastrollo-Horrillo, M. A., & Rivero Diaz, M. (2019). Destination social capital and innovation in SMEs tourism firms: An empirical analysis in an adverse socio-economic context. *Journal of Sustainable Tourism*, *27*(10), 1572-1590. DOI: https://doi.org/10.1080/09669582.2019.1648481

Rasoolimanesh, S. M., Ramakrishna, S., Hall, C. M., Esfandiar, K., & Seyfi, S. (2020). A systematic scoping review of sustainable tourism indicators in relation to the sustainable development goals. Journal of Sustainable Tourism, 1-21.

Rebelo, S., Patuleia, M., & Dias, Á. (2022). Inclusive Tourism: Assessing the Accessibility of Lisbon as a Tourist Destination. *Tourism and Hospitality*, *3*(2), 466-495. DOI: https://doi.org/10.3390/tourhosp3020030

Reihanian, A., Mahmood, N. Z. B., Kahrom, E., & Hin, T. W. (2012). Sustainable tourism development strategy by SWOT analysis: Boujagh National Park, Iran. *Tourism management perspectives*, *4*, 223-228. DOI: https://doi.org/10.1016/j.tmp.2012.08.005

Richards, G. (2018). Cultural tourism: A review of recent research and trends. *Journal of Hospitality and Tourism Management*, *36*, 12-21. DOI: https://doi.org/10.1016/j.jhtm.2018.03.005

Richardson, G. P. (1986). Dominant structure. *System Dynamics Review*, *2*(1), 68-75.

Rikah, R., Tahwin, M., & Muniroh, H. (2017). STRATEGI PERENCANAAN DAN PENGEMBANGAN INDUSTRI PARIWISATA DENGAN MENGGUNAKAN ANALISIS SWOT. *Fokus Ekonomi: Jurnal Ilmiah Ekonomi*, *12*(1), 1-18.

Roiz, D., Boussès, P., Simard, F., Paupy, C., & Fontenille, D. (2015). Autochthonous chikungunya transmission and extreme climate events in southern France. *PLoS Neglected Tropical Diseases*, *9*(6), e0003854. DOI: https://doi.org/10.1371/journal.pntd.0003854

Rosalina, P. D., Dupre, K., & Wang, Y. (2021). Rural tourism: A systematic literature review on definitions and challenges. *Journal of Hospitality and Tourism Management*, *47*, 134-149. DOI: https://doi.org/10.1016/j.jhtm.2021.03.001

Rumanti, A. A., Sunaryo, I., Wiratmadja, I. I., & Irianto, D. (2020). Cleaner production through open innovation in Indonesian batik small and medium enterprises (SME). *The TQM Journal*. DOI: https://doi.org/10.1108/TQM-04-2020-0086

Sainaghi, R., Phillips, P., & Zavarrone, E. (2017). Performance measurement in tourism firms: A content analytical meta-approach. *Tourism Management*, *59*, 36-56. DOI: https://doi.org/10.1016/j.tourman.2016.07.002

Santoso, E. B., Kurniawati, U. F., & Dewanti, A. N. (2014). Development Factors of Shipping Industry Special Zone to Support Regional Innovation System. *Jurnal Ekonomi Pembangunan: Kajian Masalah Ekonomi dan Pembangunan*, *15*(2), 141-151. DOI: 10.23917/jep.v15i2.243

Sastrayuda, G. S. (2010). Konsep pemberdayaan masyarakat berbasis pariwisata (Community based tourism). *Hand Out*.

Schmeller, D. S., Mihoub, J. B., Bowser, A., Arvanitidis, C., Costello, M. J., Fernandez, M., Geller, G. N., Hobern, D., Kissling, W. D., Regan, E., Saarenmaa, H., Turak, E., & Isaac, N. J. B. (2017). An operational definition of essential biodiversity variables. *Biodiversity and Conservation*, *26*(12).

Sedarati, P., Santos, S., & Pintassilgo, P. (2019). System dynamics in tourism planning and development. *Tourism Planning & Development*, *16*(3), 256-280. DOI: https://doi.org/10.1080/21568316.2018.1436586

Septiningrum, L., Rizana, A, F, Soesanto, R, P., & Rumanti, A. A., (2022). Success Factor for Elevating Indonesian Tourism Area Potential. *IEEE International Conference on Industrial Engineering and Engineering Management (IEEM)*

Seetanah, B. (2019). Telecommunication and tourism development: an island perspective. *Tourism Review*.

Serravalle, F., Ferraris, A., Vrontis, D., Thrassou, A., & Christofi, M. (2019). Augmented reality in the tourism industry: A multi-stakeholder analysis of museums. *Tourism Management Perspectives*, *32*, 100549. DOI: https://doi.org/10.1016/j.tmp.2019.07.002

Setiyanti, D. W., & Sadono, I. D. (2011). Dampak Pariwisata terhadap Peluang Usaha dan Kerja Luar Pertanian Di Daerah Pesisir. *Sodality: Jurnal Sosiologi Pedesaan*, *5*(3), 259-272.

Seyitoğlu, F., & Ivanov, S. (2020). A conceptual framework of the service delivery system design for hospitality firms in the (post-) viral world: The role of service robots. *International Journal of Hospitality Management*, *91*, 102661. DOI: https://doi.org/10.1016/j.ijhm.2020.102661

Shafiee, S., Ghatari, A. R., Hasanzadeh, A., & Jahanyan, S. (2019). Developing a model for sustainable smart tourism destinations: A systematic review. *Tourism Management Perspectives*, *31*, 287-300. DOI: https://doi.org/10.1016/j.tmp.2019.06.002

Simbar, G. R., Engka, D. S., & Tumangkeng, S. Y. (2021). Pengaruh Sektor-Sektor Perekonomian Terhadap Sektor Pariwisata Dan Dampaknya Terhadap Pertumbuhan Ekonomi Di Kota Tomohon. *Jurnal Berkala Ilmiah Efisiensi*, *21*(7).

SindoNews.com. (2017). Kontribusi Pertumbuhan Pariwisata di Sektor Ekonomi Terbesar dan Tercepat. Accessed: Apr. 06, 2022. [Online] Available:

https://ekbis.sindonews.com/berita/1231216/34/kontribusi-pertumbuhan-pariwisata-di-sektor-ekonomi-terbesar-dan-tercepat

Škare, M., Soriano, D. R., & Porada-Rochoń, M. (2021). Impact of COVID-19 on the travel and tourism industry. *Technological Forecasting and Social Change*, *163*, 120469. DOI: https://doi.org/10.1016/j.techfore.2020.120469

Soehardi, S., Permatasari, D. A., & Sihite, J. (2020). Pengaruh Pandemik Covid-19 Terhadap Pendapatan Tempat Wisata dan Kinerja Karyawan Pariwisata di Jakarta. *Jurnal Kajian Ilmiah*, *1*(1).

Song, S., & Lee, S. (2020). Motivation of internationalization and a moderating role of environmental conditions in the hospitality industry. *Tourism Management*, *78*, 104050. DOI: https://doi.org/10.1016/j.tourman.2019.104050

Sterman, J. (2010). *Business dynamics* (p. 982). Irwin/McGraw-Hill c2000.

Streimikiene, D., Svagzdiene, B., Jasinskas, E., & Simanavicius, A. (2021). Sustainable tourism development and competitiveness: The systematic literature review. *Sustainable development*, *29*(1), 259-271.

Suarto, E. (2017). Pengembangan Objek Wisata Berbasis Analisis Swot. *Jurnal Spasial: Penelitian, Terapan Ilmu Geografi, dan Pendidikan Geografi*, *3*(1).

Sugiama, A. G. (2011, November). Analisis diskriminan persepsi wisatawan terhadap kualitas komponen kepariwisataan di kawasana wisata agro. In *Prosiding Industrial Research Workshop and National Seminar* (Vol. 2, pp. 207-215). DOI: https://doi.org/10.35313/irwns.v2i0.513

Sugiyono, D. (2013). Metode penelitian pendidikan pendekatan kuantitatif, kualitatif dan R&D.

Sugiyono. (2018). 2018. Metode Penelitian Kuantitatif, Kualitatif, dan R&D. Bandung: Alfabeta.

Sul, H. K., Chi, X., & Han, H. (2020). Measurement development for tourism destination business environment and competitive advantages. *Sustainability*, *12*(20), 8587. DOI: https://doi.org/10.3390/su12208587

Sulistyadi, Y., Eddyono, F., & Entas, D. (2019). *Pariwisata Berkelanjutan dalam Perspektif Pariwisata Budaya di Taman Hutan Raya Banten*. Uwais Inspirasi Indonesia.

Sun, P., Zhou, X., Shao, C., Wang, W., & Sun, J. (2022). The Impacts of Environmental Dynamism on Chinese Tour Guides' Sustainable Performance: Factors Related to Vitality, Positive Stress Mindset and Supportive Policy. *International Journal of Environmental Research and Public Health*, *19*(15), 9289. DOI: https://doi.org/10.3390/ijerph19159289

Susyanti, D. W., & Latianingsih, N. (2014). Potensi desa melalui pariwisata pedesaan. Epigram, 11(1).

Tan, W. J., Yang, C. F., Château, P. A., Lee, M. T., & Chang, Y. C. (2018). Integrated coastal-zone management for sustainable tourism using a decision support system based on system dynamics: A case study of Cijin, Kaohsiung, Taiwan. *Ocean & Coastal Management*, *153*, 131-139. DOI: https://doi.org/10.1016/j.ocecoaman.2017.12.012

Tangian, D., Polii, B. D., & Mengko, S. M. (2020). Analysis of Potential Tourism Attractions in Manado City. *International journal of Tourism and hospitality in Asia Pasific (IJTHAP)*, *3*(1), 102-109. DOI: https://doi.org/10.32535/ijthap.v3i1.731

Theobald, D. M. (2005). Landscape patterns of exurban growth in the USA from 1980 to 2020. *Ecology and society*, *10*(1).

Vărzaru, A. A., Bocean, C. G., & Cazacu, M. (2021). Rethinking tourism industry in pandemic COVID-19 period. *Sustainability*, *13*(12), 6956. DOI: https://doi.org/10.3390/su13126956

Wahono, N., Qin, S., Oomen, P., Cremers, T. I. F., de Vries, M. G., & Westerink, B. H. C. (2012). Evaluation of permselective membranes for optimization of intracerebral amperometric glutamate biosensors. *Biosensors and Bioelectronics*, *33*(1), 260-266. DOI: https://doi.org/10.1016/j.bios.2012.01.019

Wang, S., Ji, C., He, H., Zhang, Z., & Zhang, L. (2021). Tourists' waste reduction behavioral intentions at tourist destinations: An integrative research framework. *Sustainable Production and Consumption*, *25*, 540-550.

Wicaksono, W. A., & Idajati, H. (2020). Identifikasi Karakteristik Obyek Daya Tarik Wisata Makam Sunan Bonang Berdasarkan Komponen Wisata Religi. *Jurnal Teknik ITS*, *8*(2), D156-D161. DOI: 0.12962/j23373539.v8i2.48705

Wiratmadja, I. I., Profityo, W. B., & Rumanti, A. A. (2020). Drivers of innovation ambidexterity on small medium enterprises (SMEs) performance. *IEEE Access*, *9*, 4423-4434. DOI: 10.1109/ACCESS.2020.3048139

Wondeful Indonesia. (2022). Database Industri Pariwisata dan Ekonomi Kreatif. Accessed: Oct. 31, 2022. [Online] Available: https://industri.kemenparekraf.go.id/

Wulung, S. R. P., Adriani, Y., Brahmantyo, B., & Rosydie, A. (2021). Spatial model planning for geotourism destinations. *Journal of Engineering Science and Technology*, *16*(3), 1883-1897.

Yiannakou, A., Apostolou, A., Birou-Athanasiou, V., Papagiannakis, A., & Vitopoulou, A. (2022). Branding Places through Experiential Tourism: A Survey on the Features of the Experiential Product and Enterprises in Greek Regions. *Tourism and Hospitality*, *3*(2), 435-450. DOI: https://doi.org/10.3390/tourhosp3020028

Yoeti, O. A. (1993). Pengantar ilmu pariwisata. P. 184

Yohanes Sulistyadi, Y., Fauziah Eddyono, F., & Derinta Entas, D. (2019). Buku Indikator Perencanaan Pengembangan Pariwisata Berkelanjutan.

Yusantiar, R., & Soewardikoen, D. W. (2018). Perancangan Identitas Visual untuk Promosi Pariwisata Kabupaten Rembang. *ANDHARUPA: Jurnal Desain Komunikasi Visual & Multimedia*, *4*(02), 207-220. DOI: https://doi.org/10.33633/andharupa.v4i02.1626

Zhou, F., Zheng, T., Schrier, T., & Farrish, J. (2022). Examining the Impact of China's Corruption Crackdown: A Forecast for Macau's Tourism and Gaming Industry. *Tourism and Hospitality*, *3*(3), 752-764. DOI: https://doi.org/10.3390/tourhosp3030046

Zielinski, S., Kim, S. I., Botero, C., & Yanes, A. (2020). Factors that facilitate and inhibit community-based tourism initiatives in developing countries. *Current Issues in Tourism*, *23*(6), 723-739. DOI: https://doi.org/10.1080/13683500.2018.1543254

LAMPIRAN

Lampiran A
Hasil Pengolahan Data
PLS-SEM Tahap 1

Lampiran A (1) Hasil Output Outer Loading Indikator Pengujian Model Tahap 1.

	CW	ED	HT	LT	Mod Eff ED	PS	SH	SI	SS	SSF	ST	TIP	TL	TP	WM
CW1	0,810														
CW1										0,622					
CW1												0,608			
CW2	0,856														
CW2										0,625					
CW2												0,605			
CW3	0,824														
CW3										0,616					
CW3												0,593			
ED1		0,635													
ED1												0,522			
ED2		0,738													
ED2												0,563			
ED3		0,730													
ED3												0,522			
ED4		0,726													
ED4												0,470			
ED5		0,707													
ED5												0,442			

	CW	ED	HT	LT	Mod Eff ED	PS	SH	SI	SS	SSF	ST	TIP	TL	TP	WM
ED6		0,689													
ED6												0,509			
ED7		0,764													
ED7												0,549			
HT1			0,713												
HT1										0,585					
HT1												0,594			
HT2			0,627												
HT2										0,495					
HT2												0,526			
HT3			0,770												
HT3										0,592					
HT3												0,608			
HT4			0,776												
HT4										0,599					
HT4												0,604			
HT5			0,750												
HT5										0,549					
HT5												0,549			
HT6			0,691												

	CW	ED	HT	LT	Mod Eff ED	PS	SH	SI	SS	SSF	ST	TIP	TL	TP	WM
HT6										0,512					
HT6												0,554			
HT7			0,673												
HT7										0,523					
HT7												0,537			
HT8			0,642												
HT8										0,511					
HT8												0,541			
HT9			0,717												
HT9										0,599					
HT9												0,623			
LT1				0,789											
LT1										0,663					
LT1												0,665			
LT2				0,790											
LT2										0,561					
LT2												0,539			
LT3				0,758											
LT3										0,518					
LT3												0,509			

	CW	ED	HT	LT	Mod Eff ED	PS	SH	SI	SS	SSF	ST	TIP	TL	TP	WM
LT4				0,705											
LT4										0,531					
LT4												0,503			
PS1						0,714									
PS1										0,555					
PS1												0,541			
PS2						0,739									
PS2										0,598					
PS2												0,563			
PS3						0,765									
PS3										0,604					
PS3												0,564			
PS4						0,762									
PS4										0,576					
PS4												0,525			
PS5						0,660									
PS5										0,470					
PS5												0,452			
PS6						0,765									
PS6										0,537					

	CW	ED	HT	LT	Mod Eff ED	PS	SH	SI	SS	SSF	ST	TIP	TL	TP	WM
PS6												0,526			
SH * ED					1,400										
SH1							0,696								
SH1												0,573			
SH2							0,740								
SH2												0,608			
SH3							0,769								
SH3												0,586			
SH4							0,724								
SH4												0,531			
SH5							0,760								
SH5												0,544			
SH6							0,806								
SH6												0,652			
SH7							0,719								
SH7												0,522			
SI1								0,642							
SI1										0,501					
SI1												0,512			
SI2								0,772							

	CW	ED	HT	LT	Mod Eff ED	PS	SH	SI	SS	SSF	ST	TIP	TL	TP	WM
SI2										0,633					
SI2												0,630			
SI3								0,733							
SI3										0,518					
SI3												0,516			
SI4								0,740							
SI4										0,558					
SI4												0,562			
SI5								0,715							
SI5										0,574					
SI5												0,590			
SI6								0,771							
SI6										0,622					
SI6												0,643			
SI7								0,660							
SI7										0,551					
SI7												0,570			
SS1									0,737						
SS1										0,521					
SS1												0,546			

	CW	ED	HT	LT	Mod Eff ED	PS	SH	SI	SS	SSF	ST	TIP	TL	TP	WM
SS2									0,777						
SS2										0,411					
SS2												0,441			
SS3									0,780						
SS3										0,500					
SS3												0,522			
SS4									0,749						
SS4										0,475					
SS4												0,513			
ST1											0,767				
ST1										0,695					
ST1												0,696			
ST2											0,716				
ST2										0,625					
ST2												0,610			
ST3											0,742				
ST3										0,595					
ST3												0,602			
ST4											0,700				
ST4										0,582					

	CW	ED	HT	LT	Mod Eff ED	PS	SH	SI	SS	SSF	ST	TIP	TL	TP	WM
ST4												0,564			
ST5											0,731				
ST5										0,651					
ST5												0,643			
TL2													0,772		
TL2										0,557					
TL2												0,511			
TL3													0,693		
TL3										0,507					
TL3												0,472			
TL4													0,764		
TL4										0,562					
TL4												0,526			
TL5													0,754		
TL5										0,649					
TL5												0,624			
TL6													0,657		
TL6										0,466					
TL6												0,421			
TP1														0,801	

	CW	ED	HT	LT	Mod Eff ED	PS	SH	SI	SS	SSF	ST	TIP	TL	TP	WM
TP1										0,579					
TP1												0,543			
TP2														0,828	
TP2										0,566					
TP2												0,521			
TP3														0,515	
TP3										0,321					
TP3												0,281			
TP4														0,752	
TP4										0,538					
TP4												0,504			
WM1															0,790
WM1										0,632					
WM1												0,589			
WM2															0,775
WM2										0,578					
WM2												0,538			
WM3															0,740

	CW	ED	HT	LT	Mod Eff ED	PS	SH	SI	SS	SSF	ST	TIP	TL	TP	WM
WM3										0,550					
WM3												0,545			
WM4															0,785
WM4										0,612					
WM4												0,577			
WM5															0,816
WM5										0,630					
WM5												0,600			
TL1													0,680		
TL1										0,549					
TL1												0,521			

Lampiran A (2) Hasil Output Fornell-Larcker Criteria Pengujian Model Tahap 1.

	CW	ED	HT	LT	PS	SH	SI	SS	SSF	ST	TIP	TL	TP	WM
CW	**0,830**													
ED	0,421	**0,714**												
HT	0,473	0,543	**0,708**											
LT	0,552	0,488	0,475	**0,761**										
PS	0,629	0,404	0,457	0,524	**0,735**									
SH	0,479	0,668	0,671	0,464	0,421	**0,746**								
SI	0,510	0,534	0,726	0,504	0,433	0,613	**0,720**							
SS	0,410	0,511	0,594	0,410	0,295	0,593	0,603	**0,761**						
SSF	0,749	0,612	0,781	0,753	**0,761**	0,664	0,788	0,632	**0,565**					
ST	0,623	0,572	0,619	0,716	0,578	0,578	0,641	0,543	**0,863**	**0,732**				
TIP	0,725	**0,721**	**0,807**	0,735	0,722	**0,773**	**0,801**	0,670	**0,983**	**0,854**	**0,554**			
TL	0,508	0,363	0,464	0,575	0,610	0,392	0,497	0,394	**0,766**	0,619	**0,717**	**0,721**		
TP	0,515	0,350	0,370	0,516	0,666	0,311	0,422	0,223	**0,697**	0,542	**0,646**	0,613	**0,735**	
WM	0,613	0,419	0,456	0,565	0,615	0,412	0,456	0,367	**0,770**	0,670	**0,730**	0,557	0,591	**0,782**

Lampiran A (3) Hasil Output Cross Loading Indikator Pengujian Model Tahap 1.

	CW	ED	HT	LT	Mod ED	PS	SH	SI	SS	SSF	ST	TIP	TL	TP	WM
CW1	0,810	0,347	0,408	0,454	-0,311	0,495	0,425	0,469	0,324	0,622	0,527	0,608	0,408	0,444	0,487
CW1	0,810	0,347	0,408	0,454	-0,311	0,495	0,425	0,469	0,324	0,622	0,527	0,608	0,408	0,444	0,487
CW1	0,810	0,347	0,408	0,454	-0,311	0,495	0,425	0,469	0,324	0,622	0,527	0,608	0,408	0,444	0,487
CW2	0,856	0,354	0,370	0,464	-0,200	0,564	0,400	0,378	0,367	0,625	0,518	0,605	0,414	0,441	0,539
CW2	0,856	0,354	0,370	0,464	-0,200	0,564	0,400	0,378	0,367	0,625	0,518	0,605	0,414	0,441	0,539
CW2	0,856	0,354	0,370	0,464	-0,200	0,564	0,400	0,378	0,367	0,625	0,518	0,605	0,414	0,441	0,539
CW3	0,824	0,347	0,401	0,456	-0,181	0,507	0,367	0,423	0,330	0,616	0,507	0,593	0,444	0,397	0,500
CW3	0,824	0,347	0,401	0,456	-0,181	0,507	0,367	0,423	0,330	0,616	0,507	0,593	0,444	0,397	0,500
CW3	0,824	0,347	0,401	0,456	-0,181	0,507	0,367	0,423	0,330	0,616	0,507	0,593	0,444	0,397	0,500
ED1	0,324	0,635	0,417	0,428	-0,258	0,261	0,419	0,413	0,418	0,468	0,416	0,522	0,361	0,218	0,279
ED1	0,324	0,635	0,417	0,428	-0,258	0,261	0,419	0,413	0,418	0,468	0,416	0,522	0,361	0,218	0,279
ED2	0,346	0,738	0,352	0,439	-0,370	0,338	0,481	0,409	0,399	0,494	0,505	0,563	0,301	0,259	0,409
ED2	0,346	0,738	0,352	0,439	-0,370	0,338	0,481	0,409	0,399	0,494	0,505	0,563	0,301	0,259	0,409
ED3	0,309	0,730	0,350	0,408	-0,252	0,251	0,464	0,390	0,354	0,447	0,422	0,522	0,297	0,277	0,343
ED3	0,309	0,730	0,350	0,408	-0,252	0,251	0,464	0,390	0,354	0,447	0,422	0,522	0,297	0,277	0,343
ED4	0,225	0,726	0,350	0,317	-0,349	0,270	0,475	0,345	0,259	0,381	0,381	0,470	0,217	0,249	0,222
ED4	0,225	0,726	0,350	0,317	-0,349	0,270	0,475	0,345	0,259	0,381	0,381	0,470	0,217	0,249	0,222
ED5	0,199	0,707	0,380	0,259	-0,310	0,133	0,475	0,317	0,308	0,347	0,367	0,442	0,176	0,164	0,254
ED5	0,199	0,707	0,380	0,259	-0,310	0,133	0,475	0,317	0,308	0,347	0,367	0,442	0,176	0,164	0,254
ED6	0,271	0,689	0,415	0,302	-0,215	0,368	0,526	0,353	0,388	0,424	0,366	0,509	0,189	0,243	0,279
ED6	0,271	0,689	0,415	0,302	-0,215	0,368	0,526	0,353	0,388	0,424	0,366	0,509	0,189	0,243	0,279

	CW	ED	HT	LT	Mod ED	PS	SH	SI	SS	SSF	ST	TIP	TL	TP	WM
ED7	0,395	0,764	0,442	0,266	-0,260	0,364	0,494	0,421	0,401	0,468	0,383	0,549	0,250	0,318	0,282
ED7	0,395	0,764	0,442	0,266	-0,260	0,364	0,494	0,421	0,401	0,468	0,383	0,549	0,250	0,318	0,282
HT1	0,348	0,389	0,713	0,368	-0,227	0,346	0,451	0,573	0,395	0,585	0,460	0,594	0,418	0,280	0,311
HT1	0,348	0,389	0,713	0,368	-0,227	0,346	0,451	0,573	0,395	0,585	0,460	0,594	0,418	0,280	0,311
HT1	0,348	0,389	0,713	0,368	-0,227	0,346	0,451	0,573	0,395	0,585	0,460	0,594	0,418	0,280	0,311
HT2	0,309	0,423	0,627	0,276	-0,213	0,235	0,447	0,505	0,408	0,495	0,436	0,526	0,312	0,196	0,254
HT2	0,309	0,423	0,627	0,276	-0,213	0,235	0,447	0,505	0,408	0,495	0,436	0,526	0,312	0,196	0,254
HT2	0,309	0,423	0,627	0,276	-0,213	0,235	0,447	0,505	0,408	0,495	0,436	0,526	0,312	0,196	0,254
HT3	0,341	0,420	0,770	0,353	-0,082	0,390	0,483	0,509	0,422	0,592	0,476	0,608	0,362	0,291	0,342
HT3	0,341	0,420	0,770	0,353	-0,082	0,390	0,483	0,509	0,422	0,592	0,476	0,608	0,362	0,291	0,342
HT3	0,341	0,420	0,770	0,353	-0,082	0,390	0,483	0,509	0,422	0,592	0,476	0,608	0,362	0,291	0,342
HT4	0,333	0,350	0,776	0,326	-0,180	0,427	0,472	0,518	0,494	0,599	0,428	0,604	0,371	0,299	0,351
HT4	0,333	0,350	0,776	0,326	-0,180	0,427	0,472	0,518	0,494	0,599	0,428	0,604	0,371	0,299	0,351
HT4	0,333	0,350	0,776	0,326	-0,180	0,427	0,472	0,518	0,494	0,599	0,428	0,604	0,371	0,299	0,351
HT5	0,336	0,312	0,750	0,293	-0,017	0,376	0,408	0,515	0,422	0,549	0,359	0,549	0,306	0,282	0,299
HT5	0,336	0,312	0,750	0,293	-0,017	0,376	0,408	0,515	0,422	0,549	0,359	0,549	0,306	0,282	0,299
HT5	0,336	0,312	0,750	0,293	-0,017	0,376	0,408	0,515	0,422	0,549	0,359	0,549	0,306	0,282	0,299
HT6	0,357	0,422	0,691	0,413	-0,302	0,276	0,533	0,497	0,403	0,512	0,457	0,554	0,178	0,201	0,231
HT6	0,357	0,422	0,691	0,413	-0,302	0,276	0,533	0,497	0,403	0,512	0,457	0,554	0,178	0,201	0,231
HT6	0,357	0,422	0,691	0,413	-0,302	0,276	0,533	0,497	0,403	0,512	0,457	0,554	0,178	0,201	0,231
HT7	0,296	0,394	0,673	0,355	-0,256	0,277	0,400	0,478	0,414	0,523	0,429	0,537	0,286	0,279	0,303
HT7	0,296	0,394	0,673	0,355	-0,256	0,277	0,400	0,478	0,414	0,523	0,429	0,537	0,286	0,279	0,303
HT7	0,296	0,394	0,673	0,355	-0,256	0,277	0,400	0,478	0,414	0,523	0,429	0,537	0,286	0,279	0,303

	CW	ED	HT	LT	Mod ED	PS	SH	SI	SS	SSF	ST	TIP	TL	TP	WM
HT8	0,315	0,343	0,642	0,305	-0,065	0,259	0,534	0,479	0,388	0,511	0,412	0,541	0,294	0,201	0,378
HT8	0,315	0,343	0,642	0,305	-0,065	0,259	0,534	0,479	0,388	0,511	0,412	0,541	0,294	0,201	0,378
HT8	0,315	0,343	0,642	0,305	-0,065	0,259	0,534	0,479	0,388	0,511	0,412	0,541	0,294	0,201	0,378
HT9	0,378	0,415	0,717	0,338	-0,221	0,300	0,551	0,552	0,440	0,599	0,485	0,623	0,400	0,307	0,423
HT9	0,378	0,415	0,717	0,338	-0,221	0,300	0,551	0,552	0,440	0,599	0,485	0,623	0,400	0,307	0,423
HT9	0,378	0,415	0,717	0,338	-0,221	0,300	0,551	0,552	0,440	0,599	0,485	0,623	0,400	0,307	0,423
LT1	0,538	0,468	0,437	0,789	-0,409	0,479	0,490	0,469	0,348	0,663	0,613	0,665	0,530	0,436	0,470
LT1	0,538	0,468	0,437	0,789	-0,409	0,479	0,490	0,469	0,348	0,663	0,613	0,665	0,530	0,436	0,470
LT1	0,538	0,468	0,437	0,789	-0,409	0,479	0,490	0,469	0,348	0,663	0,613	0,665	0,530	0,436	0,470
LT2	0,379	0,351	0,337	0,790	-0,120	0,385	0,297	0,367	0,312	0,561	0,535	0,539	0,364	0,413	0,492
LT2	0,379	0,351	0,337	0,790	-0,120	0,385	0,297	0,367	0,312	0,561	0,535	0,539	0,364	0,413	0,492
LT2	0,379	0,351	0,337	0,790	-0,120	0,385	0,297	0,367	0,312	0,561	0,535	0,539	0,364	0,413	0,492
LT3	0,308	0,354	0,387	0,758	-0,248	0,343	0,318	0,326	0,320	0,518	0,490	0,509	0,382	0,322	0,353
LT3	0,308	0,354	0,387	0,758	-0,248	0,343	0,318	0,326	0,320	0,518	0,490	0,509	0,382	0,322	0,353
LT3	0,308	0,354	0,387	0,758	-0,248	0,343	0,318	0,326	0,320	0,518	0,490	0,509	0,382	0,322	0,353
LT4	0,429	0,293	0,270	0,705	-0,177	0,371	0,279	0,355	0,261	0,531	0,526	0,503	0,456	0,390	0,394
LT4	0,429	0,293	0,270	0,705	-0,177	0,371	0,279	0,355	0,261	0,531	0,526	0,503	0,456	0,390	0,394
LT4	0,429	0,293	0,270	0,705	-0,177	0,371	0,279	0,355	0,261	0,531	0,526	0,503	0,456	0,390	0,394
PS1	0,448	0,337	0,336	0,407	-0,295	0,714	0,361	0,340	0,273	0,555	0,439	0,541	0,432	0,400	0,436
PS1	0,448	0,337	0,336	0,407	-0,295	0,714	0,361	0,340	0,273	0,555	0,439	0,541	0,432	0,400	0,436
PS1	0,448	0,337	0,336	0,407	-0,295	0,714	0,361	0,340	0,273	0,555	0,439	0,541	0,432	0,400	0,436
PS2	0,523	0,304	0,330	0,404	-0,176	0,739	0,318	0,348	0,193	0,598	0,454	0,563	0,490	0,633	0,496
PS2	0,523	0,304	0,330	0,404	-0,176	0,739	0,318	0,348	0,193	0,598	0,454	0,563	0,490	0,633	0,496

	CW	ED	HT	LT	Mod ED	PS	SH	SI	SS	SSF	ST	TIP	TL	TP	WM
PS2	0,523	0,304	0,330	0,404	-0,176	0,739	0,318	0,348	0,193	0,598	0,454	0,563	0,490	0,633	0,496
PS3	0,462	0,269	0,409	0,385	0,007	0,765	0,309	0,392	0,308	0,604	0,434	0,564	0,521	0,443	0,443
PS3	0,462	0,269	0,409	0,385	0,007	0,765	0,309	0,392	0,308	0,604	0,434	0,564	0,521	0,443	0,443
PS3	0,462	0,269	0,409	0,385	0,007	0,765	0,309	0,392	0,308	0,604	0,434	0,564	0,521	0,443	0,443
PS4	0,411	0,242	0,388	0,369	0,089	0,762	0,235	0,318	0,167	0,576	0,412	0,525	0,481	0,555	0,489
PS4	0,411	0,242	0,388	0,369	0,089	0,762	0,235	0,318	0,167	0,576	0,412	0,525	0,481	0,555	0,489
PS4	0,411	0,242	0,388	0,369	0,089	0,762	0,235	0,318	0,167	0,576	0,412	0,525	0,481	0,555	0,489
PS5	0,406	0,300	0,251	0,344	-0,083	0,660	0,267	0,219	0,154	0,470	0,394	0,452	0,343	0,415	0,419
PS5	0,406	0,300	0,251	0,344	-0,083	0,660	0,267	0,219	0,154	0,470	0,394	0,452	0,343	0,415	0,419
PS5	0,406	0,300	0,251	0,344	-0,083	0,660	0,267	0,219	0,154	0,470	0,394	0,452	0,343	0,415	0,419
PS6	0,521	0,339	0,284	0,401	-0,274	0,765	0,368	0,273	0,195	0,537	0,412	0,526	0,399	0,474	0,424
PS6	0,521	0,339	0,284	0,401	-0,274	0,765	0,368	0,273	0,195	0,537	0,412	0,526	0,399	0,474	0,424
PS6	0,521	0,339	0,284	0,401	-0,274	0,765	0,368	0,273	0,195	0,537	0,412	0,526	0,399	0,474	0,424
SH * ED	-0,278	-0,403	-0,243	-0,324	1,000	-0,162	-0,342	-0,246	-0,235	-0,300	-0,312	-0,345	-0,259	-0,125	-0,103
SH1	0,332	0,453	0,478	0,400	-0,221	0,290	0,696	0,519	0,444	0,507	0,479	0,573	0,257	0,234	0,336
SH1	0,332	0,453	0,478	0,400	-0,221	0,290	0,696	0,519	0,444	0,507	0,479	0,573	0,257	0,234	0,336
SH2	0,379	0,471	0,511	0,384	-0,204	0,354	0,740	0,498	0,492	0,540	0,444	0,608	0,398	0,282	0,299
SH2	0,379	0,471	0,511	0,384	-0,204	0,354	0,740	0,498	0,492	0,540	0,444	0,608	0,398	0,282	0,299
SH3	0,361	0,503	0,510	0,279	-0,310	0,316	0,769	0,477	0,486	0,501	0,412	0,586	0,314	0,235	0,327
SH3	0,361	0,503	0,510	0,279	-0,310	0,316	0,769	0,477	0,486	0,501	0,412	0,586	0,314	0,235	0,327
SH4	0,330	0,493	0,492	0,282	-0,328	0,224	0,724	0,373	0,430	0,443	0,426	0,531	0,246	0,179	0,298
SH4	0,330	0,493	0,492	0,282	-0,328	0,224	0,724	0,373	0,430	0,443	0,426	0,531	0,246	0,179	0,298
SH5	0,321	0,538	0,491	0,349	-0,286	0,332	0,760	0,390	0,393	0,446	0,372	0,544	0,228	0,184	0,235

	CW	ED	HT	LT	Mod ED	PS	SH	SI	SS	SSF	ST	TIP	TL	TP	WM
SH5	0,321	0,538	0,491	0,349	-0,286	0,332	0,760	0,390	0,393	0,446	0,372	0,544	0,228	0,184	0,235
SH6	0,437	0,514	0,539	0,444	-0,254	0,387	0,806	0,505	0,450	0,577	0,515	0,652	0,347	0,284	0,401
SH6	0,437	0,514	0,539	0,444	-0,254	0,387	0,806	0,505	0,450	0,577	0,515	0,652	0,347	0,284	0,401
SH7	0,322	0,521	0,474	0,261	-0,189	0,273	0,719	0,420	0,391	0,429	0,348	0,522	0,235	0,207	0,234
SH7	0,322	0,521	0,474	0,261	-0,189	0,273	0,719	0,420	0,391	0,429	0,348	0,522	0,235	0,207	0,234
SI1	0,285	0,377	0,473	0,349	-0,158	0,301	0,375	0,642	0,329	0,501	0,427	0,512	0,325	0,252	0,265
SI1	0,285	0,377	0,473	0,349	-0,158	0,301	0,375	0,642	0,329	0,501	0,427	0,512	0,325	0,252	0,265
SI1	0,285	0,377	0,473	0,349	-0,158	0,301	0,375	0,642	0,329	0,501	0,427	0,512	0,325	0,252	0,265
SI2	0,446	0,377	0,550	0,454	-0,221	0,321	0,451	0,772	0,419	0,633	0,560	0,630	0,385	0,338	0,429
SI2	0,446	0,377	0,550	0,454	-0,221	0,321	0,451	0,772	0,419	0,633	0,560	0,630	0,385	0,338	0,429
SI2	0,446	0,377	0,550	0,454	-0,221	0,321	0,451	0,772	0,419	0,633	0,560	0,630	0,385	0,338	0,429
SI3	0,273	0,335	0,467	0,339	-0,098	0,227	0,338	0,733	0,432	0,518	0,400	0,516	0,385	0,229	0,294
SI3	0,273	0,335	0,467	0,339	-0,098	0,227	0,338	0,733	0,432	0,518	0,400	0,516	0,385	0,229	0,294
SI3	0,273	0,335	0,467	0,339	-0,098	0,227	0,338	0,733	0,432	0,518	0,400	0,516	0,385	0,229	0,294
SI4	0,393	0,321	0,561	0,344	-0,071	0,290	0,447	0,740	0,409	0,558	0,409	0,562	0,359	0,264	0,293
SI4	0,393	0,321	0,561	0,344	-0,071	0,290	0,447	0,740	0,409	0,558	0,409	0,562	0,359	0,264	0,293
SI4	0,393	0,321	0,561	0,344	-0,071	0,290	0,447	0,740	0,409	0,558	0,409	0,562	0,359	0,264	0,293
SI5	0,404	0,434	0,507	0,360	-0,243	0,311	0,448	0,715	0,460	0,574	0,520	0,590	0,300	0,352	0,336
SI5	0,404	0,434	0,507	0,360	-0,243	0,311	0,448	0,715	0,460	0,574	0,520	0,590	0,300	0,352	0,336
SI5	0,404	0,434	0,507	0,360	-0,243	0,311	0,448	0,715	0,460	0,574	0,520	0,590	0,300	0,352	0,336
SI6	0,403	0,445	0,551	0,404	-0,280	0,337	0,542	0,771	0,475	0,622	0,530	0,643	0,403	0,362	0,358
SI6	0,403	0,445	0,551	0,404	-0,280	0,337	0,542	0,771	0,475	0,622	0,530	0,643	0,403	0,362	0,358
SI6	0,403	0,445	0,551	0,404	-0,280	0,337	0,542	0,771	0,475	0,622	0,530	0,643	0,403	0,362	0,358

	CW	ED	HT	LT	Mod ED	PS	SH	SI	SS	SSF	ST	TIP	TL	TP	WM
SI7	0,343	0,397	0,547	0,278	-0,144	0,393	0,470	0,660	0,510	0,551	0,361	0,570	0,347	0,310	0,305
SI7	0,343	0,397	0,547	0,278	-0,144	0,393	0,470	0,660	0,510	0,551	0,361	0,570	0,347	0,310	0,305
SI7	0,343	0,397	0,547	0,278	-0,144	0,393	0,470	0,660	0,510	0,551	0,361	0,570	0,347	0,310	0,305
SS1	0,328	0,421	0,455	0,384	-0,390	0,211	0,455	0,519	0,737	0,521	0,512	0,546	0,406	0,183	0,239
SS1	0,328	0,421	0,455	0,384	-0,390	0,211	0,455	0,519	0,737	0,521	0,512	0,546	0,406	0,183	0,239
SS1	0,328	0,421	0,455	0,384	-0,390	0,211	0,455	0,519	0,737	0,521	0,512	0,546	0,406	0,183	0,239
SS2	0,253	0,320	0,405	0,261	-0,092	0,169	0,423	0,377	0,777	0,411	0,348	0,441	0,238	0,143	0,213
SS2	0,253	0,320	0,405	0,261	-0,092	0,169	0,423	0,377	0,777	0,411	0,348	0,441	0,238	0,143	0,213
SS2	0,253	0,320	0,405	0,261	-0,092	0,169	0,423	0,377	0,777	0,411	0,348	0,441	0,238	0,143	0,213
SS3	0,352	0,365	0,467	0,279	-0,096	0,288	0,456	0,447	0,780	0,500	0,391	0,522	0,288	0,192	0,351
SS3	0,352	0,365	0,467	0,279	-0,096	0,288	0,456	0,447	0,780	0,500	0,391	0,522	0,288	0,192	0,351
SS3	0,352	0,365	0,467	0,279	-0,096	0,288	0,456	0,447	0,780	0,500	0,391	0,522	0,288	0,192	0,351
SS4	0,302	0,435	0,472	0,310	-0,110	0,219	0,464	0,474	0,749	0,475	0,382	0,513	0,250	0,155	0,302
SS4	0,302	0,435	0,472	0,310	-0,110	0,219	0,464	0,474	0,749	0,475	0,382	0,513	0,250	0,155	0,302
SS4	0,302	0,435	0,472	0,310	-0,110	0,219	0,464	0,474	0,749	0,475	0,382	0,513	0,250	0,155	0,302
ST1	0,476	0,487	0,608	0,509	-0,278	0,435	0,478	0,510	0,513	0,695	0,767	0,696	0,512	0,361	0,515
ST1	0,476	0,487	0,608	0,509	-0,278	0,435	0,478	0,510	0,513	0,695	0,767	0,696	0,512	0,361	0,515
ST1	0,476	0,487	0,608	0,509	-0,278	0,435	0,478	0,510	0,513	0,695	0,767	0,696	0,512	0,361	0,515
ST2	0,428	0,389	0,501	0,415	-0,141	0,451	0,380	0,468	0,392	0,625	0,716	0,610	0,435	0,439	0,455
ST2	0,428	0,389	0,501	0,415	-0,141	0,451	0,380	0,468	0,392	0,625	0,716	0,610	0,435	0,439	0,455
ST2	0,428	0,389	0,501	0,415	-0,141	0,451	0,380	0,468	0,392	0,625	0,716	0,610	0,435	0,439	0,455
ST3	0,407	0,404	0,471	0,520	-0,218	0,353	0,463	0,435	0,379	0,595	0,742	0,602	0,396	0,362	0,433
ST3	0,407	0,404	0,471	0,520	-0,218	0,353	0,463	0,435	0,379	0,595	0,742	0,602	0,396	0,362	0,433

	CW	ED	HT	LT	Mod ED	PS	SH	SI	SS	SSF	ST	TIP	TL	TP	WM
ST3	0,407	0,404	0,471	0,520	-0,218	0,353	0,463	0,435	0,379	0,595	0,742	0,602	0,396	0,362	0,433
ST4	0,441	0,381	0,312	0,568	-0,142	0,399	0,333	0,426	0,347	0,582	0,700	0,564	0,410	0,399	0,493
ST4	0,441	0,381	0,312	0,568	-0,142	0,399	0,333	0,426	0,347	0,582	0,700	0,564	0,410	0,399	0,493
ST4	0,441	0,381	0,312	0,568	-0,142	0,399	0,333	0,426	0,347	0,582	0,700	0,564	0,410	0,399	0,493
ST5	0,522	0,423	0,350	0,609	-0,346	0,471	0,449	0,497	0,344	0,651	0,731	0,643	0,501	0,425	0,548
ST5	0,522	0,423	0,350	0,609	-0,346	0,471	0,449	0,497	0,344	0,651	0,731	0,643	0,501	0,425	0,548
ST5	0,522	0,423	0,350	0,609	-0,346	0,471	0,449	0,497	0,344	0,651	0,731	0,643	0,501	0,425	0,548
TL1	0,354	0,234	0,431	0,398	-0,181	0,377	0,324	0,387	0,400	0,549	0,443	0,521	0,680	0,330	0,338
TL1	0,354	0,234	0,431	0,398	-0,181	0,377	0,324	0,387	0,400	0,549	0,443	0,521	0,680	0,330	0,338
TL1	0,354	0,234	0,431	0,398	-0,181	0,377	0,324	0,387	0,400	0,549	0,443	0,521	0,680	0,330	0,338
TL2	0,345	0,234	0,356	0,347	-0,153	0,448	0,247	0,325	0,296	0,557	0,435	0,511	0,772	0,465	0,439
TL2	0,345	0,234	0,356	0,347	-0,153	0,448	0,247	0,325	0,296	0,557	0,435	0,511	0,772	0,465	0,439
TL2	0,345	0,234	0,356	0,347	-0,153	0,448	0,247	0,325	0,296	0,557	0,435	0,511	0,772	0,465	0,439
TL3	0,363	0,241	0,268	0,345	-0,138	0,423	0,248	0,384	0,180	0,507	0,404	0,472	0,693	0,422	0,363
TL3	0,363	0,241	0,268	0,345	-0,138	0,423	0,248	0,384	0,180	0,507	0,404	0,472	0,693	0,422	0,363
TL3	0,363	0,241	0,268	0,345	-0,138	0,423	0,248	0,384	0,180	0,507	0,404	0,472	0,693	0,422	0,363
TL4	0,363	0,281	0,287	0,481	-0,178	0,499	0,287	0,331	0,227	0,562	0,447	0,526	0,764	0,483	0,425
TL4	0,363	0,281	0,287	0,481	-0,178	0,499	0,287	0,331	0,227	0,562	0,447	0,526	0,764	0,483	0,425
TL4	0,363	0,281	0,287	0,481	-0,178	0,499	0,287	0,331	0,227	0,562	0,447	0,526	0,764	0,483	0,425
TL5	0,491	0,398	0,362	0,539	-0,379	0,474	0,358	0,425	0,330	0,649	0,603	0,624	0,754	0,525	0,490
TL5	0,491	0,398	0,362	0,539	-0,379	0,474	0,358	0,425	0,330	0,649	0,603	0,624	0,754	0,525	0,490
TL5	0,491	0,398	0,362	0,539	-0,379	0,474	0,358	0,425	0,330	0,649	0,603	0,624	0,754	0,525	0,490
TL6	0,249	0,142	0,292	0,345	-0,036	0,412	0,212	0,286	0,261	0,466	0,302	0,421	0,657	0,415	0,332

	CW	ED	HT	LT	Mod ED	PS	SH	SI	SS	SSF	ST	TIP	TL	TP	WM
TL6	0,249	0,142	0,292	0,345	-0,036	0,412	0,212	0,286	0,261	0,466	0,302	0,421	0,657	0,415	0,332
TL6	0,249	0,142	0,292	0,345	-0,036	0,412	0,212	0,286	0,261	0,466	0,302	0,421	0,657	0,415	0,332
TP1	0,480	0,357	0,307	0,425	-0,136	0,545	0,241	0,364	0,207	0,579	0,449	0,543	0,490	0,801	0,476
TP1	0,480	0,357	0,307	0,425	-0,136	0,545	0,241	0,364	0,207	0,579	0,449	0,543	0,490	0,801	0,476
TP1	0,480	0,357	0,307	0,425	-0,136	0,545	0,241	0,364	0,207	0,579	0,449	0,543	0,490	0,801	0,476
TP2	0,404	0,271	0,291	0,451	-0,054	0,537	0,247	0,349	0,159	0,566	0,425	0,521	0,535	0,828	0,454
TP2	0,404	0,271	0,291	0,451	-0,054	0,537	0,247	0,349	0,159	0,566	0,425	0,521	0,535	0,828	0,454
TP2	0,404	0,271	0,291	0,451	-0,054	0,537	0,247	0,349	0,159	0,566	0,425	0,521	0,535	0,828	0,454
TP3	0,194	0,053	0,165	0,332	-0,009	0,267	0,133	0,176	0,087	0,321	0,275	0,281	0,256	0,515	0,275
TP3	0,194	0,053	0,165	0,332	-0,009	0,267	0,133	0,176	0,087	0,321	0,275	0,281	0,256	0,515	0,275
TP3	0,194	0,053	0,165	0,332	-0,009	0,267	0,133	0,176	0,087	0,321	0,275	0,281	0,256	0,515	0,275
TP4	0,381	0,275	0,298	0,312	-0,139	0,548	0,269	0,314	0,182	0,538	0,419	0,504	0,471	0,752	0,497
TP4	0,381	0,275	0,298	0,312	-0,139	0,548	0,269	0,314	0,182	0,538	0,419	0,504	0,471	0,752	0,497
TP4	0,381	0,275	0,298	0,312	-0,139	0,548	0,269	0,314	0,182	0,538	0,419	0,504	0,471	0,752	0,497
WM1	0,558	0,319	0,362	0,488	-0,133	0,502	0,290	0,380	0,259	0,632	0,553	0,589	0,496	0,450	0,790
WM1	0,558	0,319	0,362	0,488	-0,133	0,502	0,290	0,380	0,259	0,632	0,553	0,589	0,496	0,450	0,790
WM1	0,558	0,319	0,362	0,488	-0,133	0,502	0,290	0,380	0,259	0,632	0,553	0,589	0,496	0,450	0,790
WM2	0,464	0,295	0,359	0,416	-0,068	0,473	0,261	0,293	0,334	0,578	0,466	0,538	0,427	0,438	0,775
WM2	0,464	0,295	0,359	0,416	-0,068	0,473	0,261	0,293	0,334	0,578	0,466	0,538	0,427	0,438	0,775
WM2	0,464	0,295	0,359	0,416	-0,068	0,473	0,261	0,293	0,334	0,578	0,466	0,538	0,427	0,438	0,775
WM3	0,463	0,375	0,288	0,381	-0,120	0,431	0,389	0,335	0,249	0,550	0,517	0,545	0,377	0,444	0,740
WM3	0,463	0,375	0,288	0,381	-0,120	0,431	0,389	0,335	0,249	0,550	0,517	0,545	0,377	0,444	0,740
WM3	0,463	0,375	0,288	0,381	-0,120	0,431	0,389	0,335	0,249	0,550	0,517	0,545	0,377	0,444	0,740

	CW	ED	HT	LT	Mod ED	PS	SH	SI	SS	SSF	ST	TIP	TL	TP	WM
WM4	0,442	0,294	0,405	0,426	-0,040	0,504	0,333	0,364	0,310	0,612	0,531	0,577	0,406	0,488	0,785
WM4	0,442	0,294	0,405	0,426	-0,040	0,504	0,333	0,364	0,310	0,612	0,531	0,577	0,406	0,488	0,785
WM4	0,442	0,294	0,405	0,426	-0,040	0,504	0,333	0,364	0,310	0,612	0,531	0,577	0,406	0,488	0,785
WM5	0,465	0,357	0,364	0,490	-0,045	0,488	0,343	0,405	0,281	0,630	0,547	0,600	0,465	0,488	0,816
WM5	0,465	0,357	0,364	0,490	-0,045	0,488	0,343	0,405	0,281	0,630	0,547	0,600	0,465	0,488	0,816
WM5	0,465	0,357	0,364	0,490	-0,045	0,488	0,343	0,405	0,281	0,630	0,547	0,600	0,465	0,488	0,816

Lampiran A (4) Hasil Pengujian Model Pengukuran Tahap 1 pada Industri Pariwisata.

Instrumen Pengukuran	Indikator	Outer Loading	Cronbach's Alpha	rho_A	Composite Reliability	Average Variance Extracted (AVE)
CW	CW1	0,810	0,774	0,774	0,869	0,689
	CW2	0,856				
	CW3	0,824				
ED	ED1	0,635	0,839	0,840	0,879	0,509
	ED2	0,738				
	ED3	0,730				
	ED4	0,736				
	ED5	0,707				
	ED6	0,689				
	ED7	0,764				
HT	HT1	0,713	0,875	0,878	0,900	0,502
	HT2	0,627				
	HT3	0,770				
	HT4	0,776				
	HT5	0,750				
	HT6	0,691				
	HT7	0,673				
	HT8	0,642				
	HT9	0,717				
LT	LT1	0,789	0,758	0,765	0,846	0,580
	LT2	0,790				

Instrumen Pengukuran	Indikator	Outer Loading	Cronbach's Alpha	rho_A	Composite Reliability	Average Variance Extracted (AVE)
	LT3	0,758				
	LT4	0,705				
Moderating Effect ED	ED1	0,635	1,000	1,000	1,000	1,000
	ED2	0,738				
	ED3	0,730				
	ED4	0,726				
	ED5	0,707				
	ED6	0,689				
	ED7	0,764				
PS	PS1	0,714	0,829	0,833	0,876	0,540
	PS2	0,739				
	PS3	0,765				
	PS4	0,762				
	PS5	0,660				
	PS6	0,765				
SH	SH1	0,696	0,867	0,869	0,898	0,556
	SH2	0,740				
	SH3	0,769				
	SH4	0,724				
	SH5	0,760				
	SH6	0,806				
	SH7	0,719				
SI	SI1	0,642	0,845	0,848	0,883	0,519

Instrumen Pengukuran	Indikator	Outer Loading	Cronbach's Alpha	rho_A	Composite Reliability	Average Variance Extracted (AVE)
	SI2	0,772				
	SI3	0,733				
	SI4	0,740				
	SI5	0,715				
	SI6	0,771				
	SI7	0,660				
SS	SS1	0,737	0,758	0,759	0,846	0,579
	SS2	0,777				
	SS3	0,780				
	SS4	0,749				
SSF			0,958	0,960	0,961	0,319
ST	ST1	0,767	0,783	0,785	0,852	0,535
	ST2	0,716				
	ST3	0,742				
	ST4	0,700				
	ST5	0,731				
TIP			0,965	0,966	0,967	0,307
TL	TL1	0,680	0,815	0,821	0,866	0,520
	TL2	0,772				
	TL3	0,693				
	TL4	0,764				
	TL5	0,754				
	TL6	0,657				

Instrumen Pengukuran	Indikator	Outer Loading	Cronbach's Alpha	rho_A	Composite Reliability	Average Variance Extracted (AVE)
TP	TP1	0,801	0,708	0,746	0,820	0,540
	TP2	0,828				
	TP3	0,515				
	TP4	0,752				
WM	WM1	0,790	0,840	0,843	0,887	0,611
	WM2	0,775				
	WM3	0,740				
	WM4	0,785				
	WM5	0,816				

Lampiran B

Hasil Pengolahan Data

PLS-SEM Tahap 2

Lampiran B (1) Hasil *Output Outer Loading* Indikator Pengujian Model Tahap 2.

	CW	ED	HT	LT	Mod Eff ED	PS	SH	SI	SS	SSF	ST	TIP	TL	TP	WM
CW1	0,805														
CW1										0,623					
CW1												0,612			
CW2	0,856														
CW2										0,639					
CW2												0,624			
CW3	0,828														
CW3										0,643					
CW3												0,621			
ED2		0,781													
ED2												0,574			
ED3		0,764													
ED3												0,519			
ED4		0,740													
ED4												0,460			
ED5		0,750													
ED5												0,442			
ED7		0,758													
ED7												0,542			

	CW	ED	HT	LT	Mod Eff ED	PS	SH	SI	SS	SSF	ST	TIP	TL	TP	WM
HT1			0,757												
HT1										0,558					
HT1												0,568			
HT3			0,826												
HT3										0,578					
HT3												0,591			
HT4			0,843												
HT4										0,573					
HT4												0,582			
HT5			0,822												
HT5										0,526					
HT5												0,530			
HT9			0,690												
HT9										0,585					
HT9												0,615			
LT1				0,787											
LT1										0,666					
LT1												0,671			
LT2				0,790											
LT2										0,569					

	CW	ED	HT	LT	Mod Eff ED	PS	SH	SI	SS	SSF	ST	TIP	TL	TP	WM
LT2												0,547			
LT3				0,756											
LT3										0,518					
LT3												0,508			
LT4				0,710											
LT4										0,551					
LT4												0,521			
PS1						0,740									
PS1										0,569					
PS1												0,553			
PS2						0,749									
PS2										0,612					
PS2												0,580			
PS3						0,756									
PS3										0,597					
PS3												0,562			
PS4						0,762									
PS4										0,578					
PS4												0,530			
PS6						0,791									

	CW	ED	HT	LT	Mod Eff ED	PS	SH	SI	SS	SSF	ST	TIP	TL	TP	WM
PS6										0,557					
PS6												0,547			
SH * ED					1,472										
SH2							0,747								
SH2												0,587			
SH3							0,776								
SH3												0,575			
SH4							0,742								
SH4												0,531			
SH5							0,766								
SH5												0,531			
SH6							0,822								
SH6												0,646			
SH7							0,722								
SH7												0,512			
SI2								0,820							
SI2										0,636					
SI2												0,634			
SI3								0,760							
SI3										0,508					

	CW	ED	HT	LT	Mod Eff ED	PS	SH	SI	SS	SSF	ST	TIP	TL	TP	WM
SI3												0,506			
SI4								0,776							
SI4										0,545					
SI4												0,554			
SI5								0,717							
SI5										0,560					
SI5												0,577			
SI6								0,778							
SI6										0,611					
SI6												0,632			
SS1									0,735						
SS1										0,508					
SS1												0,531			
SS2									0,776						
SS2										0,401					
SS2												0,427			
SS3									0,780						
SS3										0,490					
SS3												0,515			
SS4									0,751						

	CW	ED	HT	LT	Mod Eff ED	PS	SH	SI	SS	SSF	ST	TIP	TL	TP	WM
SS4										0,469					
SS4												0,511			
ST1											0,764				
ST1										0,690					
ST1												0,686			
ST2											0,714				
ST2										0,622					
ST2												0,612			
ST3											0,740				
ST3										0,598					
ST3												0,608			
ST4											0,705				
ST4										0,603					
ST4												0,583			
ST5											0,734				
ST5										0,661					
ST5												0,662			
TL2													0,801		
TL2										0,560					
TL2												0,519			

	CW	ED	HT	LT	Mod Eff ED	PS	SH	SI	SS	SSF	ST	TIP	TL	TP	WM
TL4													0,846		
TL4										0,583					
TL4												0,549			
TL5													0,808		
TL5										0,653					
TL5												0,632			
TP1														0,813	
TP1										0,591					
TP1												0,555			
TP2														0,844	
TP2										0,570					
TP2												0,532			
TP4														0,776	
TP4										0,558					
TP4												0,526			
WM1															0,790
WM1										0,652					
WM1												0,610			
WM2															0,775
WM2										0,596					

	CW	ED	HT	LT	Mod Eff ED	PS	SH	SI	SS	SSF	ST	TIP	TL	TP	WM
WM2												0,558			
WM3															0,740
WM3										0,569					
WM3												0,569			
WM4															0,784
WM4										0,624					
WM4												0,595			
WM5															0,816
WM5										0,651					
WM5												0,622			

Lampiran B (2) Hasil *Output Fornell-Larcker* Criteria Pengujian Model Tahap 2.

	CW	ED	HT	LT	PS	SH	SI	SS	SSF	ST	TIP	TL	TP	WM
CW	**0,830**													
ED	0,396	**0,759**												
HT	0,442	0,419	**0,790**											
LT	0,552	0,449	0,426	**0,761**										
PS	0,624	0,348	0,468	0,518	**0,760**									
SH	0,473	0,627	0,595	0,441	0,411	**0,763**								
SI	0,502	0,479	0,623	0,497	0,398	0,550	**0,771**							
SS	0,410	0,459	0,553	0,410	0,300	0,579	0,569	**0,761**						
SSF	0,765	0,563	0,717	0,762	0,768	0,625	0,746	0,620	**0,585**					
ST	0,623	0,547	0,561	0,717	0,567	0,553	0,633	0,542	**0,870**	**0,732**				
TIP	0,746	0,674	0,735	0,745	0,731	0,742	0,757	0,657	**0,983**	**0,864**	**0,568**			
TL	0,494	0,349	0,403	0,563	0,592	0,365	0,452	0,349	**0,735**	0,611	**0,697**	**0,818**		
TP	0,521	0,358	0,369	0,490	0,674	0,301	0,404	0,225	**0,707**	0,532	**0,664**	0,608	**0,811**	
WM	0,613	0,405	0,440	0,566	0,604	0,397	0,448	0,367	**0,792**	0,670	**0,756**	0,554	0,586	**0,782**

Lampiran B (3) Hasil *Output Cross Loading* Indikator Pengujian Model Tahap 2.

	CW	ED	HT	LT	Mod Eff ED	PS	SH	SI	SS	SSF	ST	TIP	TL	TP	WM
CW1	0,805	0,326	0,349	0,453	-0,314	0,482	0,412	0,443	0,324	0,623	0,527	0,612	0,393	0,444	0,487
CW1	0,805	0,326	0,349	0,453	-0,314	0,482	0,412	0,443	0,324	0,623	0,527	0,612	0,393	0,444	0,487
CW1	0,805	0,326	0,349	0,453	-0,314	0,482	0,412	0,443	0,324	0,623	0,527	0,612	0,393	0,444	0,487
CW2	0,856	0,330	0,342	0,465	-0,179	0,560	0,405	0,359	0,367	0,639	0,518	0,624	0,384	0,445	0,539
CW2	0,856	0,330	0,342	0,465	-0,179	0,560	0,405	0,359	0,367	0,639	0,518	0,624	0,384	0,445	0,539
CW2	0,856	0,330	0,342	0,465	-0,179	0,560	0,405	0,359	0,367	0,639	0,518	0,624	0,384	0,445	0,539
CW3	0,828	0,331	0,409	0,456	-0,172	0,510	0,360	0,449	0,330	0,643	0,507	0,621	0,454	0,409	0,500
CW3	0,828	0,331	0,409	0,456	-0,172	0,510	0,360	0,449	0,330	0,643	0,507	0,621	0,454	0,409	0,500
CW3	0,828	0,331	0,409	0,456	-0,172	0,510	0,360	0,449	0,330	0,643	0,507	0,621	0,454	0,409	0,500
ED2	0,346	0,781	0,299	0,438	-0,393	0,312	0,481	0,416	0,399	0,499	0,505	0,574	0,319	0,271	0,409
ED2	0,346	0,781	0,299	0,438	-0,393	0,312	0,481	0,416	0,399	0,499	0,505	0,574	0,319	0,271	0,409
ED3	0,309	0,764	0,275	0,407	-0,245	0,237	0,460	0,361	0,354	0,439	0,422	0,519	0,313	0,281	0,343
ED3	0,309	0,764	0,275	0,407	-0,245	0,237	0,460	0,361	0,354	0,439	0,422	0,519	0,313	0,281	0,343
ED4	0,225	0,740	0,252	0,317	-0,332	0,261	0,472	0,326	0,259	0,368	0,380	0,460	0,242	0,268	0,222
ED4	0,225	0,740	0,252	0,317	-0,332	0,261	0,472	0,326	0,259	0,368	0,380	0,460	0,242	0,268	0,222
ED5	0,198	0,750	0,336	0,257	-0,313	0,125	0,474	0,311	0,308	0,343	0,367	0,442	0,202	0,179	0,254
ED5	0,198	0,750	0,336	0,257	-0,313	0,125	0,474	0,311	0,308	0,343	0,367	0,442	0,202	0,179	0,254
ED7	0,395	0,758	0,420	0,265	-0,251	0,356	0,491	0,386	0,401	0,461	0,383	0,542	0,232	0,342	0,282
ED7	0,395	0,758	0,420	0,265	-0,251	0,356	0,491	0,386	0,401	0,461	0,383	0,542	0,232	0,342	0,282
HT1	0,348	0,347	0,757	0,367	-0,203	0,350	0,426	0,512	0,395	0,558	0,459	0,568	0,314	0,298	0,311
HT1	0,348	0,347	0,757	0,367	-0,203	0,350	0,426	0,512	0,395	0,558	0,459	0,568	0,314	0,298	0,311

	CW	ED	HT	LT	Mod Eff ED	PS	SH	SI	SS	SSF	ST	TIP	TL	TP	WM
HT1	0,348	0,347	0,757	0,367	-0,203	0,350	0,426	0,512	0,395	0,558	0,459	0,568	0,314	0,298	0,311
HT3	0,342	0,344	0,826	0,352	-0,047	0,384	0,471	0,484	0,422	0,578	0,475	0,591	0,342	0,275	0,342
HT3	0,342	0,344	0,826	0,352	-0,047	0,384	0,471	0,484	0,422	0,578	0,475	0,591	0,342	0,275	0,342
HT3	0,342	0,344	0,826	0,352	-0,047	0,384	0,471	0,484	0,422	0,578	0,475	0,591	0,342	0,275	0,342
HT4	0,333	0,290	0,843	0,325	-0,169	0,428	0,477	0,434	0,494	0,573	0,427	0,582	0,298	0,293	0,351
HT4	0,333	0,290	0,843	0,325	-0,169	0,428	0,477	0,434	0,494	0,573	0,427	0,582	0,298	0,293	0,351
HT4	0,333	0,290	0,843	0,325	-0,169	0,428	0,477	0,434	0,494	0,573	0,427	0,582	0,298	0,293	0,351
HT5	0,337	0,260	0,822	0,292	0,009	0,375	0,413	0,458	0,422	0,526	0,358	0,530	0,223	0,280	0,299
HT5	0,337	0,260	0,822	0,292	0,009	0,375	0,413	0,458	0,422	0,526	0,358	0,530	0,223	0,280	0,299
HT5	0,337	0,260	0,822	0,292	0,009	0,375	0,413	0,458	0,422	0,526	0,358	0,530	0,223	0,280	0,299
HT9	0,378	0,400	0,690	0,338	-0,247	0,305	0,548	0,559	0,440	0,585	0,483	0,615	0,401	0,305	0,423
HT9	0,378	0,400	0,690	0,338	-0,247	0,305	0,548	0,559	0,440	0,585	0,483	0,615	0,401	0,305	0,423
HT9	0,378	0,400	0,690	0,338	-0,247	0,305	0,548	0,559	0,440	0,585	0,483	0,615	0,401	0,305	0,423
LT1	0,536	0,451	0,400	0,787	-0,410	0,474	0,468	0,452	0,348	0,666	0,614	0,671	0,517	0,415	0,471
LT1	0,536	0,451	0,400	0,787	-0,410	0,474	0,468	0,452	0,348	0,666	0,614	0,671	0,517	0,415	0,471
LT1	0,536	0,451	0,400	0,787	-0,410	0,474	0,468	0,452	0,348	0,666	0,614	0,671	0,517	0,415	0,471
LT2	0,380	0,331	0,270	0,790	-0,105	0,376	0,279	0,368	0,312	0,569	0,536	0,547	0,349	0,389	0,492
LT2	0,380	0,331	0,270	0,790	-0,105	0,376	0,279	0,368	0,312	0,569	0,536	0,547	0,349	0,389	0,492
LT2	0,380	0,331	0,270	0,790	-0,105	0,376	0,279	0,368	0,312	0,569	0,536	0,547	0,349	0,389	0,492
LT3	0,309	0,304	0,393	0,756	-0,195	0,329	0,306	0,291	0,320	0,518	0,491	0,508	0,349	0,298	0,353
LT3	0,309	0,304	0,393	0,756	-0,195	0,329	0,306	0,291	0,320	0,518	0,491	0,508	0,349	0,298	0,353
LT3	0,309	0,304	0,393	0,756	-0,195	0,329	0,306	0,291	0,320	0,518	0,491	0,508	0,349	0,298	0,353
LT4	0,429	0,260	0,226	0,710	-0,149	0,379	0,262	0,385	0,261	0,551	0,527	0,521	0,483	0,378	0,394

	CW	ED	HT	LT	Mod Eff ED	PS	SH	SI	SS	SSF	ST	TIP	TL	TP	WM
LT4	0,429	0,260	0,226	0,710	-0,149	0,379	0,262	0,385	0,261	0,551	0,527	0,521	0,483	0,378	0,394
LT4	0,429	0,260	0,226	0,710	-0,149	0,379	0,262	0,385	0,261	0,551	0,527	0,521	0,483	0,378	0,394
PS1	0,447	0,298	0,341	0,406	-0,271	0,740	0,341	0,320	0,273	0,569	0,439	0,553	0,421	0,412	0,436
PS1	0,447	0,298	0,341	0,406	-0,271	0,740	0,341	0,320	0,273	0,569	0,439	0,553	0,421	0,412	0,436
PS1	0,447	0,298	0,341	0,406	-0,271	0,740	0,341	0,320	0,273	0,569	0,439	0,553	0,421	0,412	0,436
PS2	0,523	0,286	0,291	0,405	-0,161	0,749	0,313	0,339	0,193	0,612	0,454	0,580	0,510	0,657	0,496
PS2	0,523	0,286	0,291	0,405	-0,161	0,749	0,313	0,339	0,193	0,612	0,454	0,580	0,510	0,657	0,496
PS2	0,523	0,286	0,291	0,405	-0,161	0,749	0,313	0,339	0,193	0,612	0,454	0,580	0,510	0,657	0,496
PS3	0,463	0,217	0,473	0,384	0,025	0,756	0,313	0,319	0,308	0,597	0,434	0,562	0,431	0,434	0,443
PS3	0,463	0,217	0,473	0,384	0,025	0,756	0,313	0,319	0,308	0,597	0,434	0,562	0,431	0,434	0,443
PS3	0,463	0,217	0,473	0,384	0,025	0,756	0,313	0,319	0,308	0,597	0,434	0,562	0,431	0,434	0,443
PS4	0,412	0,197	0,416	0,369	0,123	0,762	0,235	0,269	0,167	0,578	0,412	0,530	0,447	0,555	0,489
PS4	0,412	0,197	0,416	0,369	0,123	0,762	0,235	0,269	0,167	0,578	0,412	0,530	0,447	0,555	0,489
PS4	0,412	0,197	0,416	0,369	0,123	0,762	0,235	0,269	0,167	0,578	0,412	0,530	0,447	0,555	0,489
PS6	0,522	0,324	0,250	0,401	-0,266	0,791	0,359	0,260	0,195	0,557	0,412	0,547	0,435	0,490	0,424
PS6	0,522	0,324	0,250	0,401	-0,266	0,791	0,359	0,260	0,195	0,557	0,412	0,547	0,435	0,490	0,424
PS6	0,522	0,324	0,250	0,401	-0,266	0,791	0,359	0,260	0,195	0,557	0,412	0,547	0,435	0,490	0,424
SH * ED	-0,266	-0,404	-0,170	-0,294	1,000	-0,143	-0,341	-0,250	-0,215	-0,284	-0,306	-0,333	-0,295	-0,123	-0,109
SH2	0,379	0,407	0,477	0,384	-0,185	0,358	0,747	0,440	0,492	0,515	0,443	0,587	0,337	0,263	0,299
SH2	0,379	0,407	0,477	0,384	-0,185	0,358	0,747	0,440	0,492	0,515	0,443	0,587	0,337	0,263	0,299
SH3	0,361	0,469	0,496	0,278	-0,318	0,302	0,776	0,441	0,486	0,486	0,412	0,575	0,277	0,244	0,327
SH3	0,361	0,469	0,496	0,278	-0,318	0,302	0,776	0,441	0,486	0,486	0,412	0,575	0,277	0,244	0,327
SH4	0,330	0,475	0,434	0,282	-0,340	0,230	0,742	0,380	0,430	0,439	0,425	0,531	0,274	0,180	0,298

	CW	ED	HT	LT	Mod Eff ED	PS	SH	SI	SS	SSF	ST	TIP	TL	TP	WM
SH4	0,330	0,475	0,434	0,282	-0,340	0,230	0,742	0,380	0,430	0,439	0,425	0,531	0,274	0,180	0,298
SH5	0,320	0,511	0,426	0,348	-0,285	0,338	0,766	0,358	0,393	0,430	0,372	0,531	0,219	0,194	0,235
SH5	0,320	0,511	0,426	0,348	-0,285	0,338	0,766	0,358	0,393	0,430	0,372	0,531	0,219	0,194	0,235
SH6	0,436	0,501	0,478	0,443	-0,264	0,368	0,822	0,482	0,450	0,560	0,515	0,646	0,313	0,273	0,401
SH6	0,436	0,501	0,478	0,443	-0,264	0,368	0,822	0,482	0,450	0,560	0,515	0,646	0,313	0,273	0,401
SH7	0,322	0,517	0,406	0,260	-0,173	0,272	0,722	0,402	0,391	0,413	0,347	0,512	0,243	0,214	0,234
SH7	0,322	0,517	0,406	0,260	-0,173	0,272	0,722	0,402	0,391	0,413	0,347	0,512	0,243	0,214	0,234
SI2	0,446	0,367	0,507	0,455	-0,250	0,322	0,427	0,820	0,419	0,636	0,559	0,634	0,391	0,350	0,429
SI2	0,446	0,367	0,507	0,455	-0,250	0,322	0,427	0,820	0,419	0,636	0,559	0,634	0,391	0,350	0,429
SI2	0,446	0,367	0,507	0,455	-0,250	0,322	0,427	0,820	0,419	0,636	0,559	0,634	0,391	0,350	0,429
SI3	0,274	0,321	0,439	0,339	-0,105	0,239	0,311	0,760	0,432	0,508	0,400	0,506	0,353	0,234	0,295
SI3	0,274	0,321	0,439	0,339	-0,105	0,239	0,311	0,760	0,432	0,508	0,400	0,506	0,353	0,234	0,295
SI3	0,274	0,321	0,439	0,339	-0,105	0,239	0,311	0,760	0,432	0,508	0,400	0,506	0,353	0,234	0,295
SI4	0,394	0,318	0,524	0,345	-0,079	0,303	0,428	0,776	0,409	0,545	0,409	0,554	0,321	0,257	0,293
SI4	0,394	0,318	0,524	0,345	-0,079	0,303	0,428	0,776	0,409	0,545	0,409	0,554	0,321	0,257	0,293
SI4	0,394	0,318	0,524	0,345	-0,079	0,303	0,428	0,776	0,409	0,545	0,409	0,554	0,321	0,257	0,293
SI5	0,402	0,428	0,429	0,360	-0,232	0,308	0,417	0,717	0,460	0,560	0,519	0,577	0,284	0,342	0,336
SI5	0,402	0,428	0,429	0,360	-0,232	0,308	0,417	0,717	0,460	0,560	0,519	0,577	0,284	0,342	0,336
SI5	0,402	0,428	0,429	0,360	-0,232	0,308	0,417	0,717	0,460	0,560	0,519	0,577	0,284	0,342	0,336
SI6	0,402	0,406	0,496	0,405	-0,272	0,352	0,519	0,778	0,475	0,611	0,530	0,632	0,386	0,358	0,358
SI6	0,402	0,406	0,496	0,405	-0,272	0,352	0,519	0,778	0,475	0,611	0,530	0,632	0,386	0,358	0,358
SI6	0,402	0,406	0,496	0,405	-0,272	0,352	0,519	0,778	0,475	0,611	0,530	0,632	0,386	0,358	0,358
SS1	0,327	0,377	0,408	0,383	-0,385	0,222	0,427	0,496	0,735	0,508	0,512	0,531	0,370	0,187	0,240

	CW	ED	HT	LT	Mod Eff ED	PS	SH	SI	SS	SSF	ST	TIP	TL	TP	WM
SS1	0,327	0,377	0,408	0,383	-0,385	0,222	0,427	0,496	0,735	0,508	0,512	0,531	0,370	0,187	0,240
SS1	0,327	0,377	0,408	0,383	-0,385	0,222	0,427	0,496	0,735	0,508	0,512	0,531	0,370	0,187	0,240
SS2	0,253	0,257	0,343	0,261	-0,077	0,165	0,410	0,366	0,776	0,401	0,347	0,427	0,234	0,147	0,213
SS2	0,253	0,257	0,343	0,261	-0,077	0,165	0,410	0,366	0,776	0,401	0,347	0,427	0,234	0,147	0,213
SS2	0,253	0,257	0,343	0,261	-0,077	0,165	0,410	0,366	0,776	0,401	0,347	0,427	0,234	0,147	0,213
SS3	0,352	0,340	0,458	0,279	-0,075	0,293	0,443	0,401	0,780	0,490	0,391	0,515	0,230	0,183	0,351
SS3	0,352	0,340	0,458	0,279	-0,075	0,293	0,443	0,401	0,780	0,490	0,391	0,515	0,230	0,183	0,351
SS3	0,352	0,340	0,458	0,279	-0,075	0,293	0,443	0,401	0,780	0,490	0,391	0,515	0,230	0,183	0,351
SS4	0,303	0,407	0,458	0,310	-0,090	0,218	0,476	0,453	0,751	0,469	0,382	0,511	0,216	0,161	0,302
SS4	0,303	0,407	0,458	0,310	-0,090	0,218	0,476	0,453	0,751	0,469	0,382	0,511	0,216	0,161	0,302
SS4	0,303	0,407	0,458	0,310	-0,090	0,218	0,476	0,453	0,751	0,469	0,382	0,511	0,216	0,161	0,302
ST1	0,475	0,426	0,570	0,509	-0,271	0,433	0,441	0,489	0,513	0,690	0,764	0,686	0,494	0,362	0,515
ST1	0,475	0,426	0,570	0,509	-0,271	0,433	0,441	0,489	0,513	0,690	0,764	0,686	0,494	0,362	0,515
ST1	0,475	0,426	0,570	0,509	-0,271	0,433	0,441	0,489	0,513	0,690	0,764	0,686	0,494	0,362	0,515
ST2	0,428	0,359	0,467	0,415	-0,128	0,437	0,383	0,451	0,392	0,622	0,714	0,612	0,412	0,443	0,455
ST2	0,428	0,359	0,467	0,415	-0,128	0,437	0,383	0,451	0,392	0,622	0,714	0,612	0,412	0,443	0,455
ST2	0,428	0,359	0,467	0,415	-0,128	0,437	0,383	0,451	0,392	0,622	0,714	0,612	0,412	0,443	0,455
ST3	0,407	0,392	0,402	0,520	-0,231	0,339	0,455	0,437	0,379	0,598	0,740	0,608	0,425	0,351	0,433
ST3	0,407	0,392	0,402	0,520	-0,231	0,339	0,455	0,437	0,379	0,598	0,740	0,608	0,425	0,351	0,433
ST3	0,407	0,392	0,402	0,520	-0,231	0,339	0,455	0,437	0,379	0,598	0,740	0,608	0,425	0,351	0,433
ST4	0,442	0,366	0,325	0,568	-0,116	0,393	0,299	0,423	0,347	0,603	0,705	0,583	0,396	0,384	0,493
ST4	0,442	0,366	0,325	0,568	-0,116	0,393	0,299	0,423	0,347	0,603	0,705	0,583	0,396	0,384	0,493
ST4	0,442	0,366	0,325	0,568	-0,116	0,393	0,299	0,423	0,347	0,603	0,705	0,583	0,396	0,384	0,493

	CW	ED	HT	LT	Mod Eff ED	PS	SH	SI	SS	SSF	ST	TIP	TL	TP	WM
ST5	0,521	0,452	0,280	0,610	-0,358	0,465	0,439	0,508	0,344	0,661	0,734	0,662	0,500	0,408	0,548
ST5	0,521	0,452	0,280	0,610	-0,358	0,465	0,439	0,508	0,344	0,661	0,734	0,662	0,500	0,408	0,548
ST5	0,521	0,452	0,280	0,610	-0,358	0,465	0,439	0,508	0,344	0,661	0,734	0,662	0,500	0,408	0,548
TL2	0,346	0,194	0,387	0,348	-0,134	0,464	0,260	0,302	0,295	0,560	0,435	0,519	0,801	0,471	0,439
TL2	0,346	0,194	0,387	0,348	-0,134	0,464	0,260	0,302	0,295	0,560	0,435	0,519	0,801	0,471	0,439
TL2	0,346	0,194	0,387	0,348	-0,134	0,464	0,260	0,302	0,295	0,560	0,435	0,519	0,801	0,471	0,439
TL4	0,365	0,259	0,286	0,482	-0,186	0,517	0,287	0,379	0,227	0,583	0,447	0,549	0,846	0,496	0,425
TL4	0,365	0,259	0,286	0,482	-0,186	0,517	0,287	0,379	0,227	0,583	0,447	0,549	0,846	0,496	0,425
TL4	0,365	0,259	0,286	0,482	-0,186	0,517	0,287	0,379	0,227	0,583	0,447	0,549	0,846	0,496	0,425
TL5	0,490	0,387	0,320	0,539	-0,382	0,473	0,343	0,419	0,329	0,653	0,603	0,632	0,808	0,522	0,490
TL5	0,490	0,387	0,320	0,539	-0,382	0,473	0,343	0,419	0,329	0,653	0,603	0,632	0,808	0,522	0,490
TL5	0,490	0,387	0,320	0,539	-0,382	0,473	0,343	0,419	0,329	0,653	0,603	0,632	0,808	0,522	0,490
TP1	0,479	0,331	0,325	0,425	-0,115	0,546	0,228	0,335	0,206	0,591	0,449	0,555	0,468	0,813	0,476
TP1	0,479	0,331	0,325	0,425	-0,115	0,546	0,228	0,335	0,206	0,591	0,449	0,555	0,468	0,813	0,476
TP1	0,479	0,331	0,325	0,425	-0,115	0,546	0,228	0,335	0,206	0,591	0,449	0,555	0,468	0,813	0,476
TP2	0,404	0,277	0,285	0,452	-0,035	0,531	0,237	0,340	0,159	0,570	0,425	0,532	0,480	0,844	0,453
TP2	0,404	0,277	0,285	0,452	-0,035	0,531	0,237	0,340	0,159	0,570	0,425	0,532	0,480	0,844	0,453
TP2	0,404	0,277	0,285	0,452	-0,035	0,531	0,237	0,340	0,159	0,570	0,425	0,532	0,480	0,844	0,453
TP4	0,382	0,261	0,287	0,312	-0,149	0,562	0,269	0,308	0,182	0,558	0,419	0,526	0,534	0,776	0,497
TP4	0,382	0,261	0,287	0,312	-0,149	0,562	0,269	0,308	0,182	0,558	0,419	0,526	0,534	0,776	0,497
TP4	0,382	0,261	0,287	0,312	-0,149	0,562	0,269	0,308	0,182	0,558	0,419	0,526	0,534	0,776	0,497
WM1	0,558	0,284	0,370	0,488	-0,142	0,490	0,281	0,372	0,259	0,652	0,553	0,610	0,503	0,433	0,790
WM1	0,558	0,284	0,370	0,488	-0,142	0,490	0,281	0,372	0,259	0,652	0,553	0,610	0,503	0,433	0,790

	CW	ED	HT	LT	Mod Eff ED	PS	SH	SI	SS	SSF	ST	TIP	TL	TP	WM
WM1	0,558	0,284	0,370	0,488	-0,142	0,490	0,281	0,372	0,259	0,652	0,553	0,610	0,503	0,433	0,790
WM2	0,464	0,265	0,362	0,417	-0,082	0,473	0,260	0,270	0,334	0,596	0,466	0,558	0,409	0,442	0,775
WM2	0,464	0,265	0,362	0,417	-0,082	0,473	0,260	0,270	0,334	0,596	0,466	0,558	0,409	0,442	0,775
WM2	0,464	0,265	0,362	0,417	-0,082	0,473	0,260	0,270	0,334	0,596	0,466	0,558	0,409	0,442	0,775
WM3	0,464	0,389	0,225	0,381	-0,147	0,425	0,380	0,345	0,249	0,569	0,517	0,569	0,412	0,436	0,740
WM3	0,464	0,389	0,225	0,381	-0,147	0,425	0,380	0,345	0,249	0,569	0,517	0,569	0,412	0,436	0,740
WM3	0,464	0,389	0,225	0,381	-0,147	0,425	0,380	0,345	0,249	0,569	0,517	0,569	0,412	0,436	0,740
WM4	0,442	0,294	0,399	0,426	-0,027	0,483	0,324	0,338	0,311	0,624	0,531	0,595	0,386	0,494	0,784
WM4	0,442	0,294	0,399	0,426	-0,027	0,483	0,324	0,338	0,311	0,624	0,531	0,595	0,386	0,494	0,784
WM4	0,442	0,294	0,399	0,426	-0,027	0,483	0,324	0,338	0,311	0,624	0,531	0,595	0,386	0,494	0,784
WM5	0,465	0,355	0,354	0,490	-0,034	0,484	0,312	0,419	0,281	0,651	0,548	0,622	0,449	0,485	0,816
WM5	0,465	0,355	0,354	0,490	-0,034	0,484	0,312	0,419	0,281	0,651	0,548	0,622	0,449	0,485	0,816
WM5	0,465	0,355	0,354	0,490	-0,034	0,484	0,312	0,419	0,281	0,651	0,548	0,622	0,449	0,485	0,816

Lampiran B (4) Hasil Pengujian Model Pengukuran Tahap 2 pada Industri Pariwisata.

Instrumen Pengukuran	Indikator	Outer Loading	Cronbach's Alpha	rho_A	Composite Reliability	Average Variance Extracted (AVE)
CW	CW1	0,805	0,774	0,774	0,869	0,689
	CW2	0,856				
	CW3	0,828				
ED	ED2	0,781	0,816	0,820	0,871	0,576
	ED3	0,764				
	ED4	0,740				
	ED5	0,750				
	ED7	0,758				
HT	HT1	0,757	0,847	0,847	0,892	0,624
	HT3	0,826				
	HT4	0,843				
	HT5	0,822				
	HT9	0,707				
LT	LT1	0,787	0,758	0,764	0,846	0,580
	LT2	0,790				
	LT3	0,756				
	LT4	0,710				
Moderating Effect ED			1,000	1,000	1,000	1,000
PS	PS1	0,740	0,817	0,817	0,872	0,577
	PS2	0,749				
	PS3	0,756				

Instrumen Pengukuran	Indikator	Outer Loading	Cronbach's Alpha	rho_A	Composite Reliability	Average Variance Extracted (AVE)
	PS4	0,762				
	PS6	0,791				
SH	SH2	0,747	0,856	0,860	0,893	0,582
	SH3	0,776				
	SH4	0,742				
	SH5	0,766				
	SH6	0,822				
	SH7	0,722				
SI	SI1	0,820	0,829	0,833	0,880	0,594
	SI2	0,760				
	SI3	0,776				
	SI4	0,717				
	SI6	0,778				
SS	SS1	0,735	0,758	0,758	0,846	0,579
	SS2	0,776				
	SS3	0,780				
	SS4	0,751				
SSF			0,952	0,954	0,956	0,342
ST	ST1	0,764	0,783	0,785	0,852	0,535
	ST2	0,714				
	ST3	0,740				
	ST4	0,705				
	ST5	0,734				

Instrumen Pengukuran	Indikator	Outer Loading	Cronbach's Alpha	rho_A	Composite Reliability	Average Variance Extracted (AVE)
TIP			0,959	0,960	0,962	0,323
TL	TL2	0,801	0,754	0,756	0,859	0,670
	TL4	0,846				
	TL5	0,808				
TP	TP1	0,813	0,740	0,740	0,852	0,658
	TP2	0,844				
	TP4	0,776				
WM	WM1	0,790	0,840	0,843	0,887	0,611
	WM2	0,775				
	WM3	0,740				
	WM4	0,784				
	WM5	0,816				

Lampiran C
Hasil Pengolahan Data
PLS-SEM Tahap 3

Lampiran C (1) Hasil *Output Outer Loading* Indikator Pengujian Model Tahap 4.

	CW	ED	HT	LT	Mod Eff ED	PS	SH	SI	SS	SSF	ST	TIP	TL	TP	WM
CW1	0,855														
CW1										0,759					
CW1												0,761			
CW2	0,836														
CW3	0,790														
ED2		0,796													
ED3		0,776													
ED4		0,733													
ED5		0,741													
ED7		0,741													
HT1			0,759												
HT3			0,823												
HT4			0,823												
HT5			0,792												
HT9			0,730												
LT1				0,807											
LT1												0,779			
LT2				0,784											
LT3				0,736											

	CW	ED	HT	LT	Mod Eff ED	PS	SH	SI	SS	SSF	ST	TIP	TL	TP	WM
LT4				**0,708**											
PS1						**0,767**									
PS2						**0,764**									
PS3						**0,726**									
PS4						**0,724**									
PS6						**0,810**									
SH * ED					**1,478**										
SH2							**0,758**								
SH3							**0,777**								
SH4							**0,733**								
SH5							**0,758**								
SH6							**0,829**								
SH7							**0,716**								
SI2								**0,821**							
SI3								**0,741**							
SI4								**0,746**							
SI5								**0,742**							
SI6								**0,790**							
SS1									**0,764**						
SS2									**0,773**						

	CW	ED	HT	LT	Mod Eff ED	PS	SH	SI	SS	SSF	ST	TIP	TL	TP	WM
SS3									0,782						
SS4									0,717						
ST1											0,733				
ST2											0,677				
ST3											0,718				
ST4											0,717				
ST5											0,793				
ST5										0,809					
ST5												0,799			
TL2													0,741		
TL4													0,809		
TL5													0,874		
TL5										0,800					
TL5												0,793			
TP1														0,828	
TP2														0,835	
TP4														0,768	
WM1															0,793
WM2															0,760
WM3															0,746

	CW	ED	HT	LT	Mod Eff ED	PS	SH	SI	SS	SSF	ST	TIP	TL	TP	WM
WM4															**0,773**
WM5															**0,830**
WM5										**0,703**					
WM5												**0,668**			

Lampiran C (2) Hasil *Output Fornell-Larcker* Criteria Pengujian Model Tahap 4.

	CW	ED	HT	LT	PS	SH	SI	SS	SSF	ST	TIP	TL	TP	WM
CW	**0,827**													
ED	0,395	**0,758**												
HT	0,444	0,426	**0,786**											
LT	0,560	0,461	0,432	**0,760**										
PS	0,622	0,353	0,455	0,524	**0,759**									
SH	0,478	0,622	0,607	0,450	0,418	**0,763**								
SI	0,509	0,487	0,631	0,506	0,403	0,556	**0,769**							
SS	0,411	0,459	0,555	0,413	0,301	0,577	0,574	**0,759**						
SSF	0,762	0,499	0,436	0,691	0,626	0,494	0,594	0,422	**0,889**					
ST	0,631	0,555	0,549	0,732	0,571	0,555	0,644	0,537	0,815	**0,829**				
TIP	0,763	0,521	0,457	0,752	0,632	0,521	0,599	0,435	0,884	0,824	**0,761**			
TL	0,509	0,372	0,411	0,585	0,589	0,375	0,463	0,361	0,747	0,634	0,747	**0,810**		
TP	0,526	0,358	0,374	0,494	0,672	0,303	0,411	0,228	0,607	0,532	0,600	0,609	**0,811**	
WM	0,610	0,412	0,448	0,570	0,600	0,399	0,456	0,363	0,763	0,676	0,740	0,560	0,586	**0,781**

Lampiran C (3) Hasil *Output Cross Loading* Indikator Pengujian Model Tahap 4.

	CW	ED	HT	LT	Mod Eff ED	PS	SH	SI	SS	SSF	ST	TIP	TL	TP	WM
CW1	0,855	0,325	0,355	0,465	-0,315	0,489	0,414	0,454	0,333	0,759	0,537	0,761	0,429	0,450	0,487
CW1	0,855	0,325	0,355	0,465	-0,315	0,489	0,414	0,454	0,333	0,759	0,537	0,761	0,429	0,450	0,487
CW1	0,855	0,325	0,355	0,465	-0,315	0,489	0,414	0,454	0,333	0,759	0,537	0,761	0,429	0,450	0,487
CW2	0,836	0,330	0,344	0,469	-0,177	0,559	0,407	0,361	0,364	0,563	0,524	0,556	0,383	0,446	0,537
CW3	0,790	0,332	0,415	0,461	-0,168	0,512	0,361	0,445	0,329	0,526	0,506	0,532	0,456	0,408	0,501
ED2	0,341	0,796	0,312	0,445	-0,393	0,318	0,482	0,424	0,395	0,459	0,517	0,481	0,333	0,272	0,409
ED3	0,310	0,776	0,283	0,411	-0,240	0,241	0,459	0,359	0,357	0,401	0,421	0,426	0,333	0,283	0,345
ED4	0,223	0,733	0,262	0,320	-0,331	0,270	0,470	0,334	0,258	0,320	0,383	0,331	0,256	0,270	0,225
ED5	0,204	0,741	0,340	0,260	-0,308	0,130	0,467	0,315	0,305	0,314	0,367	0,328	0,221	0,177	0,256
ED7	0,394	0,741	0,428	0,268	-0,249	0,358	0,489	0,394	0,401	0,364	0,385	0,373	0,242	0,346	0,285
HT1	0,349	0,342	0,759	0,370	-0,204	0,344	0,428	0,511	0,401	0,339	0,437	0,372	0,316	0,299	0,308
HT3	0,333	0,337	0,823	0,351	-0,044	0,374	0,473	0,483	0,420	0,338	0,449	0,354	0,340	0,277	0,344
HT4	0,332	0,287	0,823	0,322	-0,168	0,414	0,479	0,431	0,489	0,313	0,414	0,328	0,289	0,295	0,343
HT5	0,332	0,258	0,792	0,287	0,013	0,361	0,413	0,453	0,414	0,244	0,341	0,252	0,210	0,281	0,293
HT9	0,377	0,400	0,730	0,344	-0,245	0,304	0,545	0,558	0,443	0,420	0,469	0,430	0,398	0,303	0,427
LT1	0,551	0,456	0,411	0,807	-0,408	0,481	0,471	0,453	0,361	0,655	0,624	0,779	0,541	0,417	0,473
LT1	0,551	0,456	0,411	0,807	-0,408	0,481	0,471	0,453	0,361	0,655	0,624	0,779	0,541	0,417	0,473
LT2	0,374	0,338	0,271	0,784	-0,104	0,374	0,282	0,369	0,308	0,496	0,547	0,521	0,355	0,388	0,491
LT3	0,305	0,305	0,387	0,736	-0,190	0,326	0,308	0,296	0,315	0,404	0,492	0,445	0,360	0,300	0,356
LT4	0,417	0,265	0,236	0,708	-0,145	0,379	0,266	0,388	0,264	0,490	0,539	0,494	0,484	0,377	0,394
PS1	0,450	0,297	0,344	0,413	-0,267	0,767	0,340	0,326	0,280	0,518	0,443	0,533	0,433	0,417	0,442

	CW	ED	HT	LT	Mod Eff ED	PS	SH	SI	SS	SSF	ST	TIP	TL	TP	WM
PS2	0,522	0,284	0,293	0,409	-0,156	0,764	0,315	0,344	0,191	0,533	0,457	0,521	0,510	0,656	0,493
PS3	0,457	0,216	0,466	0,383	0,027	0,726	0,318	0,316	0,308	0,429	0,434	0,432	0,416	0,435	0,441
PS4	0,401	0,196	0,409	0,371	0,129	0,724	0,237	0,263	0,167	0,378	0,408	0,380	0,419	0,551	0,484
PS6	0,516	0,323	0,252	0,408	-0,263	0,810	0,361	0,268	0,197	0,489	0,420	0,502	0,446	0,490	0,424
SH * ED	-0,279	-0,403	-0,183	-0,299	1,000	-0,162	-0,337	-0,259	-0,228	-0,358	-0,318	-0,396	-0,320	-0,123	-0,107
SH2	0,381	0,405	0,483	0,390	-0,185	0,360	0,758	0,447	0,487	0,419	0,447	0,442	0,341	0,262	0,298
SH3	0,366	0,465	0,501	0,283	-0,318	0,308	0,777	0,446	0,487	0,385	0,414	0,401	0,288	0,248	0,326
SH4	0,326	0,475	0,453	0,288	-0,336	0,239	0,733	0,381	0,427	0,319	0,421	0,336	0,271	0,178	0,299
SH5	0,323	0,509	0,430	0,350	-0,281	0,343	0,758	0,361	0,394	0,331	0,371	0,359	0,229	0,194	0,239
SH6	0,441	0,505	0,488	0,449	-0,264	0,369	0,829	0,484	0,449	0,451	0,513	0,477	0,317	0,271	0,401
SH7	0,325	0,513	0,413	0,263	-0,171	0,272	0,716	0,405	0,388	0,322	0,346	0,336	0,249	0,211	0,236
SI2	0,448	0,369	0,522	0,462	-0,251	0,322	0,430	0,821	0,419	0,510	0,562	0,526	0,399	0,349	0,429
SI3	0,269	0,323	0,447	0,342	-0,102	0,238	0,310	0,741	0,436	0,357	0,400	0,370	0,352	0,233	0,301
SI4	0,384	0,320	0,528	0,350	-0,075	0,295	0,429	0,746	0,408	0,340	0,404	0,358	0,308	0,256	0,296
SI5	0,416	0,428	0,436	0,361	-0,233	0,317	0,418	0,742	0,462	0,499	0,522	0,486	0,310	0,345	0,338
SI6	0,410	0,404	0,504	0,407	-0,269	0,355	0,521	0,790	0,476	0,516	0,536	0,510	0,398	0,359	0,362
SS1	0,334	0,378	0,419	0,389	-0,384	0,228	0,426	0,500	0,764	0,381	0,505	0,421	0,377	0,192	0,240
SS2	0,253	0,256	0,349	0,261	-0,080	0,164	0,412	0,370	0,773	0,260	0,333	0,261	0,240	0,146	0,211
SS3	0,353	0,340	0,458	0,282	-0,076	0,289	0,444	0,402	0,782	0,343	0,381	0,341	0,230	0,183	0,348
SS4	0,289	0,409	0,452	0,302	-0,088	0,218	0,477	0,455	0,717	0,266	0,379	0,258	0,218	0,161	0,296
ST1	0,481	0,425	0,581	0,512	-0,269	0,435	0,443	0,495	0,519	0,556	0,733	0,569	0,507	0,365	0,515
ST2	0,423	0,363	0,474	0,417	-0,126	0,429	0,386	0,458	0,397	0,461	0,677	0,464	0,414	0,442	0,454
ST3	0,404	0,393	0,413	0,521	-0,228	0,343	0,455	0,439	0,379	0,487	0,718	0,506	0,441	0,350	0,434

	CW	ED	HT	LT	Mod Eff ED	PS	SH	SI	SS	SSF	ST	TIP	TL	TP	WM
ST4	0,439	0,369	0,326	0,568	-0,111	0,391	0,299	0,428	0,351	0,548	0,717	0,565	0,403	0,385	0,496
ST5	0,529	0,456	0,289	0,616	-0,359	0,469	0,442	0,519	0,347	0,809	0,793	0,799	0,524	0,409	0,549
ST5	0,529	0,456	0,289	0,616	-0,359	0,469	0,442	0,519	0,347	0,809	0,793	0,799	0,524	0,409	0,549
ST5	0,529	0,456	0,289	0,616	-0,359	0,469	0,442	0,519	0,347	0,809	0,793	0,799	0,524	0,409	0,549
TL2	0,334	0,195	0,391	0,351	-0,132	0,453	0,262	0,300	0,303	0,416	0,432	0,410	0,741	0,470	0,436
TL4	0,351	0,262	0,300	0,486	-0,180	0,514	0,287	0,370	0,228	0,478	0,448	0,496	0,809	0,494	0,428
TL5	0,504	0,391	0,334	0,546	-0,381	0,484	0,345	0,429	0,336	0,800	0,612	0,793	0,874	0,521	0,493
TL5	0,504	0,391	0,334	0,546	-0,381	0,484	0,345	0,429	0,336	0,800	0,612	0,793	0,874	0,521	0,493
TL5	0,504	0,391	0,334	0,546	-0,381	0,484	0,345	0,429	0,336	0,800	0,612	0,793	0,874	0,521	0,493
TP1	0,494	0,328	0,322	0,427	-0,116	0,550	0,230	0,345	0,214	0,543	0,449	0,539	0,471	0,828	0,479
TP2	0,400	0,276	0,284	0,453	-0,035	0,524	0,239	0,348	0,158	0,462	0,426	0,461	0,480	0,835	0,451
TP4	0,375	0,261	0,300	0,318	-0,145	0,560	0,269	0,306	0,179	0,463	0,415	0,451	0,534	0,768	0,494
WM1	0,564	0,286	0,377	0,492	-0,142	0,491	0,283	0,376	0,268	0,632	0,552	0,627	0,514	0,439	0,793
WM2	0,458	0,270	0,363	0,419	-0,077	0,466	0,263	0,273	0,330	0,510	0,471	0,497	0,403	0,441	0,760
WM3	0,457	0,394	0,245	0,385	-0,146	0,425	0,378	0,347	0,246	0,556	0,524	0,548	0,425	0,434	0,746
WM4	0,441	0,299	0,396	0,427	-0,028	0,476	0,327	0,345	0,303	0,547	0,535	0,524	0,381	0,490	0,773
WM5	0,460	0,358	0,366	0,491	-0,031	0,486	0,314	0,421	0,281	0,703	0,554	0,668	0,452	0,486	0,830
WM5	0,460	0,358	0,366	0,491	-0,031	0,486	0,314	0,421	0,281	0,703	0,554	0,668	0,452	0,486	0,830
WM5	0,460	0,358	0,366	0,491	-0,031	0,486	0,314	0,421	0,281	0,703	0,554	0,668	0,452	0,486	0,830

Lampiran C (4) Hasil Pengujian Model Pengukuran Tahap 4 pada Industri Pariwisata.

Instrumen Pengukuran	Indikator	Outer Loading	Cronbach's Alpha	rho_A	Composite Reliability	Average Variance Extracted (AVE)
CW	CW1	0,855	0,774	0,802	0,867	0,685
	CW2	0,836				
	CW3	0,790				
ED	ED2	0,796	0,816	0,828	0,871	0,574
	ED3	0,776				
	ED4	0,733				
	ED5	0,741				
	ED7	0,741				
HT	HT1	0,759	0,847	0,853	0,890	0,618
	HT3	0,823				
	HT4	0,823				
	HT5	0,792				
	HT9	0,730				
LT	LT1	0,807	0,758	0,778	0,845	0,577
	LT2	0,784				
	LT3	0,736				
	LT4	0,708				
Moderating Effect ED			1,000	1,000	1,000	1,000
PS	PS1	0,767	0,817	0,823	0,871	0,576
	PS2	0,764				
	PS3	0,726				

Instrumen Pengukuran	Indikator	Outer Loading	Cronbach's Alpha	rho_A	Composite Reliability	Average Variance Extracted (AVE)
	PS4	0,724				
	PS6	0,810				
SH	SH2	0,758	0,856	0,866	0,893	0,582
	SH3	0,777				
	SH4	0,733				
	SH5	0,758				
	SH6	0,829				
	SH7	0,716				
SI	SI1	0,821	0,829	0,840	0,878	0,591
	SI2	0,741				
	SI3	0,746				
	SI4	0,742				
	SI6	0,790				
SS	SS1	0,764	0,758	0,769	0,845	0,576
	SS2	0,773				
	SS3	0,782				
	SS4	0,717				
SSF			0,768	0,770	0,852	0,591
ST	ST1	0,733	0,783	0,810	0,850	0,531
	ST2	0,777				
	ST3	0,718				
	ST4	0,717				
	ST5	0,793				

Instrumen Pengukuran	Indikator	Outer Loading	Cronbach's Alpha	rho_A	Composite Reliability	Average Variance Extracted (AVE)
TIP			0,817	0,821	0,873	0,580
TL	TL2	0,741	0,754	0,849	0,851	0,656
	TL4	0,809				
	TL5	0,874				
TP	TP1	0,828	0,740	0,745	0,852	0,657
	TP2	0,835				
	TP4	0,768				
WM	WM1	0,793	0,840	0,849	0,887	0,610
	WM2	0,760				
	WM3	0,746				
	WM4	0,773				
	WM5	0,830				

Lampiran D
Data-data Historis
Simulasi Dinamis

Data Variabel *Tourism Industry Performance*

Tahun	Jumlah Wisatawan (orang)	Jumlah Pendapatan (Rp)	Jumlah Limbah Pariwisata (Kg)
2020	854,104	Rp757,752,500	72288530
2021	871,136	Rp1,390,859,111	75043210
2022	995,618	Rp 2,200,000,000	78089010

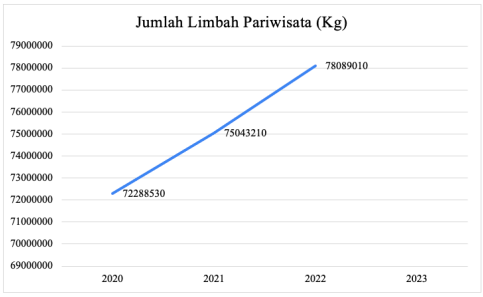

Data Variabel *Telecommunication*

Tahun	Frekuensi Promosi & Informasi	Kecepatan Jaringan (Mbps)
2020	1756	12.23
2021	1787	20
2022	2358	27.5

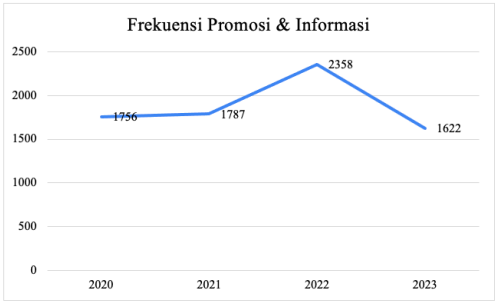

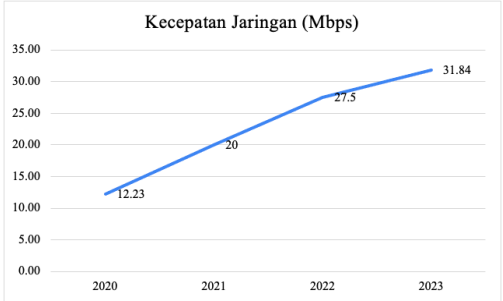

Data Variabel *Spatial*

Tahun	Jarak Lokasi antar Destinasi (Km)	Jumlah Spot Foto
2020	28	97
2021	25	118
2022	19	306

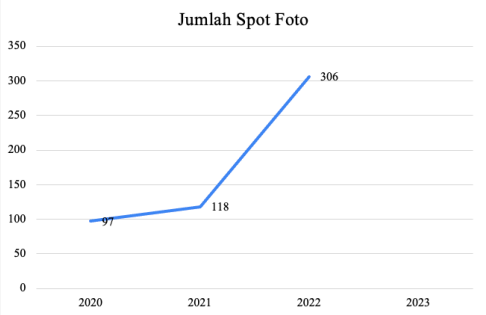

Data Variabel *Clean Water Source*

Tahun	Jumlah Kapasitas Tempat Sampah Khusus (Kg)	Frekuensi Pembersihan
2020	211,173	10,950
2021	219,096	14,680
2022	232,044	29,230

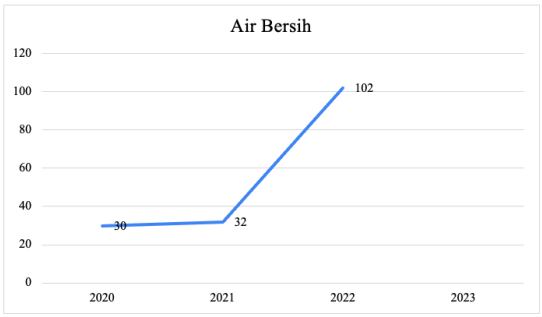

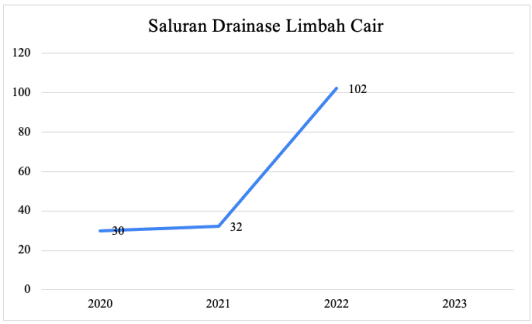

Data Variabel *Waste Management*

Tahun	Jumlah Kapasitas Tempat Sampah Khusus (Kg)	Frekuensi Pembersihan
2020	211,173	10,950
2021	219,096	14,680
2022	232,044	29,230

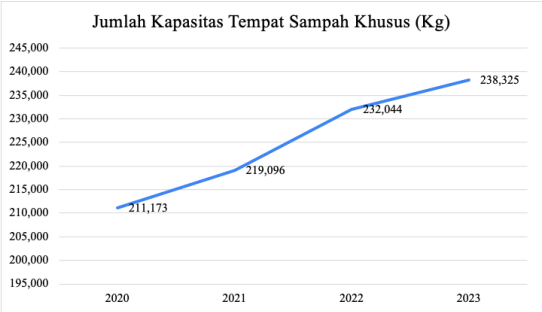

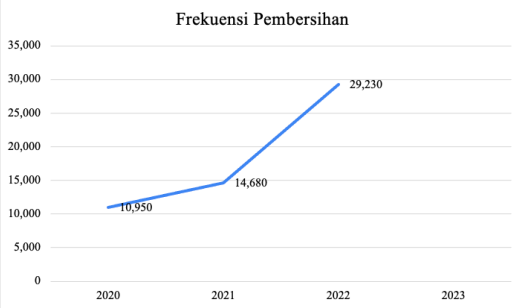

Data Variabel *Stakeholders*

Tahun	Frekuensi Program Pelatihan	Jumlah Bantuan Eksternal
2020	57	38
2021	58	36
2022	60	34

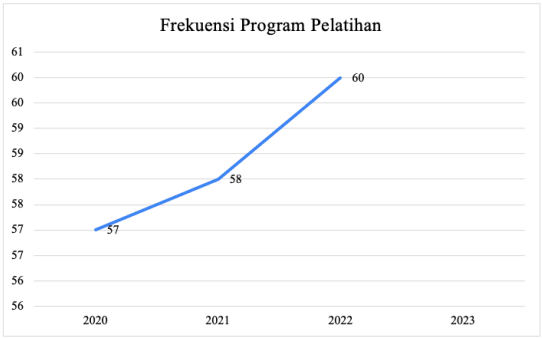

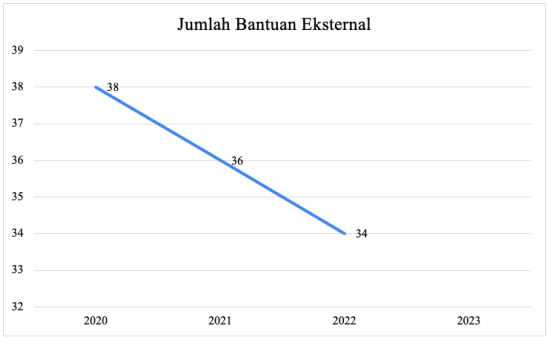

Lampiran E

Model Matematis

Causal Loop Diagram

F Frekuensi Promosi dan Informasi
Constant = 1.765

Frekuensi Promosi dan Informasi
f Frekuensi promosi dan Informasi+(0.1*Jumlah Wisatawan)

Kecepatan Jaringan
Level =INTEG (12.98)
Initial Value = 12.23

Jarak Lokasi antar Destinasi
Level =INTEG (-7.692)

f Jumlah Spot Foto
Constant = 21.6495

Jumlah Spot Foto
f Jumlah Spot Foto+(1e-07*Pendapatan)

Rate Penambahan Jumlah Wisatawan
IF THEN ELSE (Frekuensi Program Pelatihan>15, Air Bersih+Frekuensi Program Pelatihan+Frekuensi Promosi dan Informasi+Jumlah Bantuan Eksternal+Jumlah Spot Foto+Kecepatan Jaringan-Jarak Lokasi antar Destinasi-(0.012*Limbah Industri Pariwisata), Air Bersih+Frekuensi Program Pelatihan+Frekuensi Promosi dan Informasi+Jumlah Bantuan Eksternal+Jumlah Spot Foto+Kecepatan Jaringan-Jarak Lokasi antar Destinasi-(0.015*Limbah Industri Pariwisata))

Jumlah Wisatawan
Level = INTEG (Rate Penambahan Jumlah Wisatawan
Initial Value = 854104

Jumlah Bantuan Eksternal
Level = INTEG (2)
Initial Value = 38

Frekuensi Program Pelatihan
Constant = 2

Air Bersih
Level = INTEG (1)
Initial Value = 1

Saluran Drainase
Level = INTEG (1)
Initial Value = 1

Jumlah Kapasitas Tempat Sampah Khusus
Constant = 1

Rate Penambahan Limbah Industri Pariwisata
(Jumlah Wisatawan*0.45)

Limbah Industri
Level =INTEG ((Rate Penambahan Limbah Industri Pariwisata-Rate Pengurangan Limbah Industri Pariwisata) * Jumlah Kapasitas Tempat Sampah Khusus)
Initial Value = 72288.5

Rate Pengurangan Limbah Industri Pariwisata
IF THEN ELSE (Frekuensi Program Pelatihan> 15,1.678*(Frekuensi Pembersihan+Frekuensi Program Pelatihan+Saluran Limbah Cair),1.558*(Frekuensi Pembersihan+Frekuensi Program Pelatihan+Saluran Limbah Cair))

f Pembersihan
Constant = 34

Frekuensi Pembersihan
(1.1* Limbah Industri Pariwisata) + (0.0005*Pendapatan) + (10.55*f Pembersihan)

Rate Peningkatan Pendapatan
(2*Jumlah Wisatawan)

Rate Pengurangan Pendapatan
(50*f Pembersihan) + (30*Frekuensi Program Pelatihan) + (1.15*Limbah Industri Pariwisata)

Pendapatan
Level =INTEG (Rate Peningkatan Pendapatan*1.01-Rate Pengurangan Pendapatan)
Initial Value = 757753